



北京航空航天大学
BEIHANG UNIVERSITY

机器人导航python实践(入门)

Lecture2-定位

北航 国新院 实验实践课
智能系统与人形机器人国际研究中心



教师： 欧阳老师



邮箱： ouyangkid@buaa.edu.cn



学期： 2025年秋季

目录

Contents

01 课程内容安排

02 扩展Kalman滤波定位

03 集合Kalman滤波定位

04 无迹Kalman滤波定位

05 直方图滤波定位

06 粒子滤波定位

Part 1 | 课程内容安排

课程内容

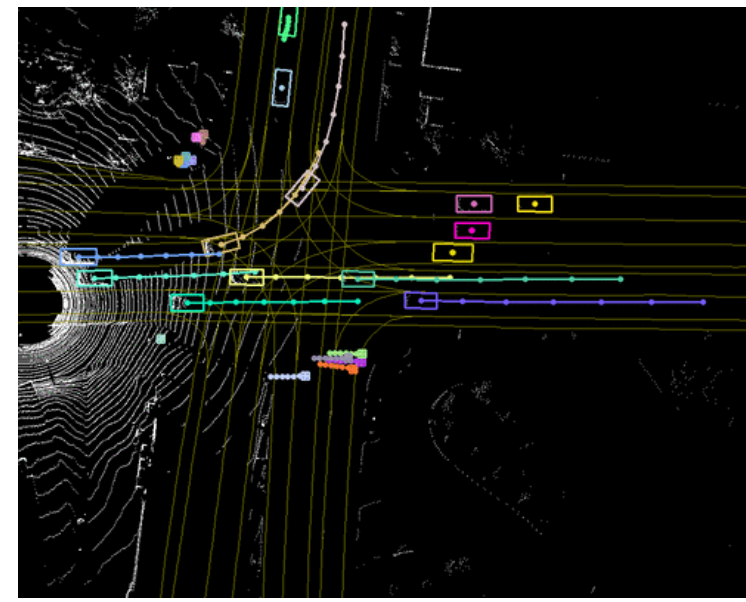
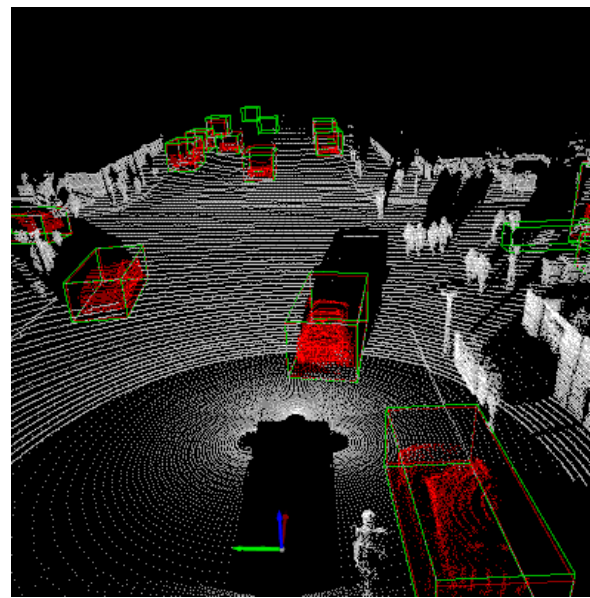
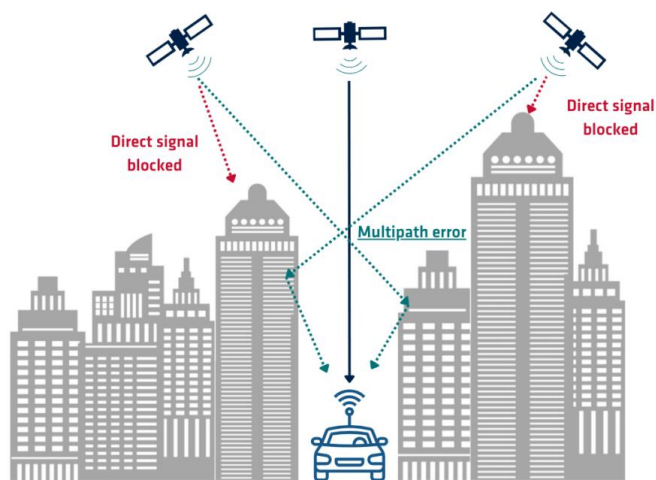
内容安排



机器人依赖传感器确定自身的（绝对）位置和朝向，从而完成基础的自身感知。常用的传感器包括GNSS（GPS、伽利略、北斗）、差分GNSS（带地面差分站）、RTK，以及室内的UWB等，但所有传感器均存在测量噪声，进一步叠加机器人的运动估计误差，会导致定位失真。

动态目标追踪&轨迹预测优化

峡谷效应
多径误差

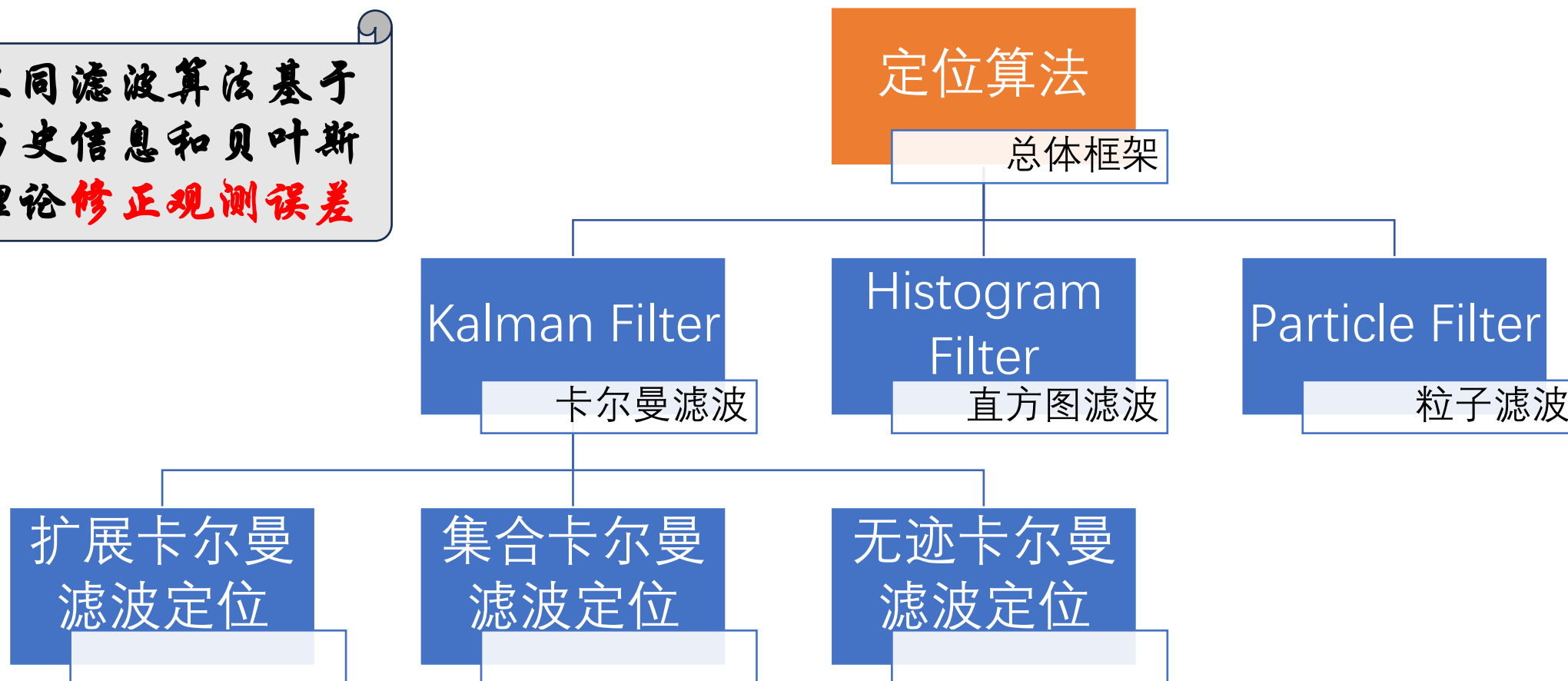


Part 1 | 课程内容安排

课程内容

» 内容安排

不同滤波算法基于
历史信息 and 贝叶斯
理论 **修正观测误差**



目录

Contents

01 课程内容安排

02 扩展Kalman滤波定位

03 集合Kalman滤波定位

04 无迹Kalman滤波定位

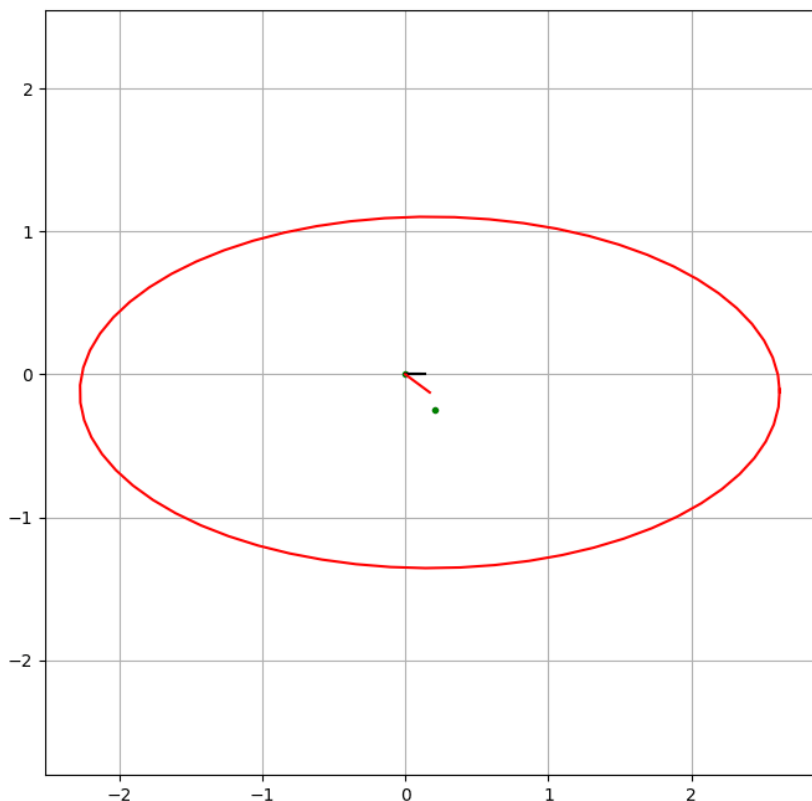
05 直方图滤波定位

06 粒子滤波定位

Part 2 | 扩展Kalman滤波定位



Extended (扩展) Kalman filter



- 绿色散点：传感器定位结果，如GPS、RTK等。
- 蓝色曲线：GT轨迹。
- 黑色曲线：航迹推算轨迹。
- 红色折线：扩展Kalman滤波定位结果。
- 红色椭圆：对应EKF的协方差椭圆。

标准卡尔曼滤波（KF）只能处理**线性系统**（比如匀速直线运动），但现实中很多系统是非线性的（比如汽车转向、无人机飞行）。EKF 的“扩展”就在于它能处理**非线性系统**，核心方法是：

预测阶段：用当前状态估计值计算雅可比矩阵（简单理解为“局部线性化”），把非线性问题近似成线性问题。

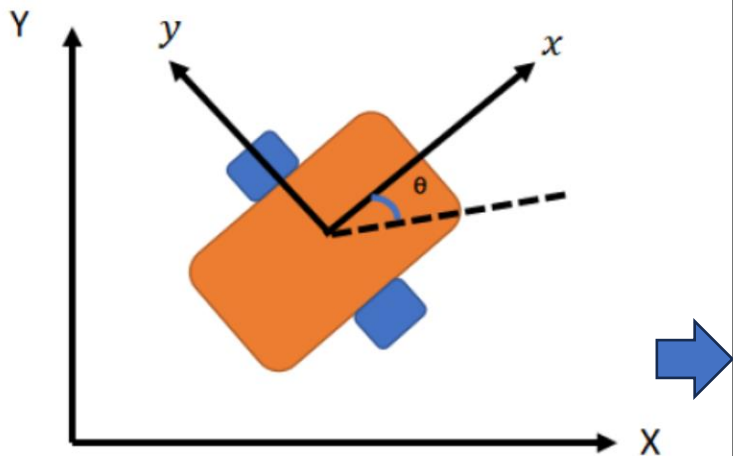
更新阶段：同样用雅可比矩阵处理观测模型的非线性。

可以理解为，EKF 是 KF 的“升级版”，使Kalman滤波应用到更复杂的场景中。

Part 2 | 扩展Kalman滤波定位

扩展Kalman—上期知识点回顾

2D运动模型



2D 刚体运动模型描述了平面上物体（如机器人）的位置和姿态随时间的变化规律。用四维状态向量，位置坐标 (x, y) ，航向角 θ 和速度 v 构成。

state vector = $[x, y, \theta, \mathbf{v}]^T$

$\mathbf{u}_t = [v_t, \omega_t]$

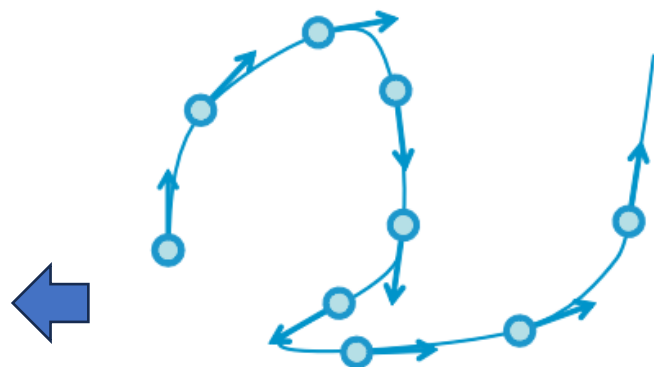
```
def motion_model(x, u):  
    F = np.array([[1.0, 0, 0, 0],  
                  [0, 1.0, 0, 0],  
                  [0, 0, 1.0, 0],  
                  [0, 0, 0, 0]])  
  
    B = np.array([[DT * math.cos(x[2, 0]), 0],  
                  [DT * math.sin(x[2, 0]), 0],  
                  [0.0, DT],  
                  [1.0, 0.0]])  
  
    x = F @ x + B @ u  
  
    return x
```

$$\mathbf{x}_{t+1} = f(\mathbf{x}_t, \mathbf{u}_t) = F\mathbf{x}_t + B\mathbf{u}_t$$

Agent 自带速度和角速度传感器（带噪），需要估计自身位置信息

航迹推算 Dead Reckoning

1st Order Model



若初始位置为 (x_0, y_0) ，某段时间内移动距离为 d_i 、航向角为 θ_i ，则新位置 (x_n, y_n) 为：

$$X_n = X_0 + \sum_{k=0}^n d_k \cos \theta_k$$
$$Y_n = Y_0 + \sum_{k=0}^n d_k \sin \theta_k$$

Part 2 | 扩展Kalman滤波定位

扩展Kalman—上期知识点回顾

定义GT轨迹

通过恒定(线)速度和角速度，模拟圆周运动。

```
def calc_input():  
    v = 1.0 # [m/s]  
    yawrate = 0.1 # [rad/s]  
    u = np.array([[v], [yawrate]])  
    return u
```

$u_t = [v_t, \omega_t]$

- 如果只设置了 $v > 0$, $yawrate = 0$ ，为直线运动；
- 如果 $v > 0$, $yawrate \neq 0$ ，为沿着一个半径为 $v / yawrate$ 的匀速圆周运动。

转弯半径 R : $R = \frac{v}{|yawrate|} = \frac{1.0}{0.1} = 10$ 米

运动周期 T (绕圆一周的时间) : $T = \frac{2\pi R}{v} = \frac{2\pi \times 10}{1.0} \approx 62.8$ 秒

Agent希望通过GPS定位（同样带噪）
信息定期修正估计位置的误差。

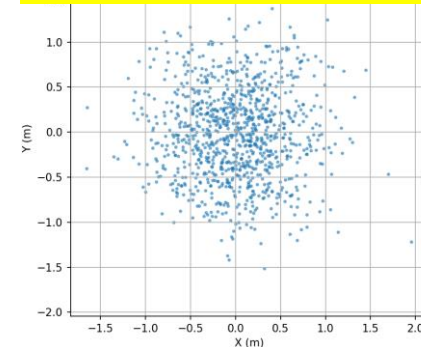
引入GPS定位噪声：

X/Y方向引入标准差为0.5m的噪声，
两者独立不相关。

$GPS_NOISE = np.diag([0.5, 0.5]) ** 2$

- 均值：0（无偏噪声）。
- 标准差：0.5 米。
- 分布：高斯分布（正态分布）。

模拟传感器定位误差



高斯分布

$z = \text{observation_model}(x_{\text{True}}) + GPS_NOISE @ np.random.randn(2, 1)$

观测模型

```
def observation_model(x):  
    H = np.array([  
        [1, 0, 0, 0],  
        [0, 1, 0, 0]  
    ])  
    z = H @ x  
    return z
```

$z_t = [x_t, y_t]$

只影响xy坐标

Part 2 | 扩展Kalman滤波定位

» 扩展Kalman

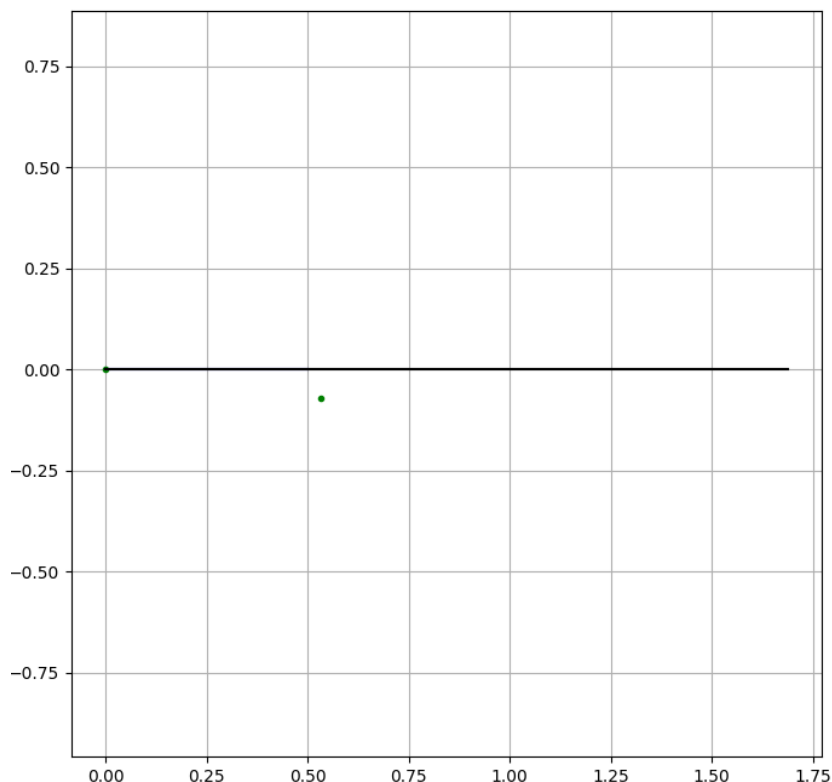
只考虑航迹推算（黑色）的结果，将模拟周期设置为63s，仿真时间间隔0.5s，覆盖一个圆的轨迹。对应航迹推算存在明显的累积误差，EKF轨迹（蓝色）基本沿GPS观测散点进行圆周运动。

更新真实
运动状态

添加GPS
测量噪声

添加
运动噪声

更新
航迹推算

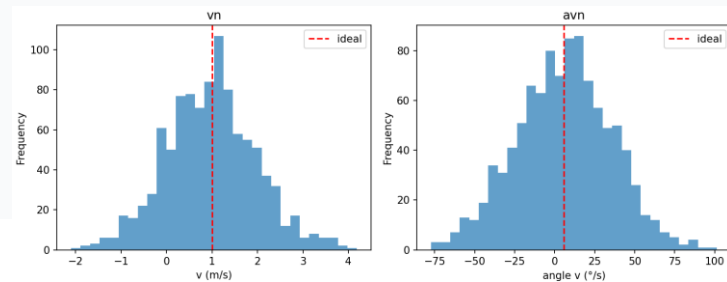


模拟运动体的控制误差

- 线速度误差：均值 0，标准差 1.0 m/s。
- 角速度误差：均值 0，标准差 0.295 rad/s（约 17°/s）。
- 两者相互独立。

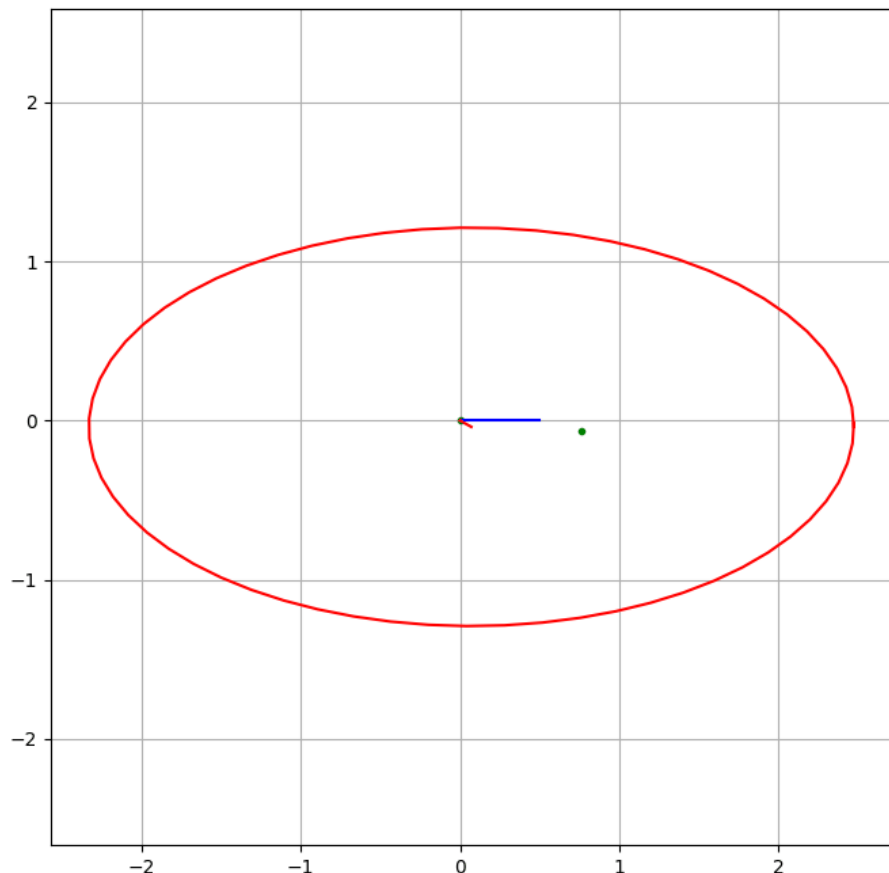
```
INPUT_NOISE = np.diag([1.0, np.deg2rad(30.0)]) ** 2
```

```
def observation(xTrue, xd, u):  
    xTrue = motion_model(xTrue, u)  
  
    # add noise to gps x-y  
    z = observation_model(xTrue) + GPS_NOISE @ np.random.randn(2, 1)  
  
    # add noise to input  
    ud = u + INPUT_NOISE @ np.random.randn(2, 1)  
  
    xd = motion_model(xd, ud)  
  
    return xTrue, z, xd, ud
```



Part 2 | 扩展Kalman滤波定位

» 扩展Kalman



Q为系统运动模型的协方差矩阵，用来估计agent的运动噪声；R为观测的不确定性协方差矩阵（与传感器测量误差相关）。

```
# Covariance for EKF simulation
Q = np.diag([
    0.1, # variance of location on x-axis
    0.1, # variance of location on y-axis
    np.deg2rad(1.0), # variance of yaw angle
    1.0 # variance of velocity
]) ** 2 # predict state covariance
R = np.diag([1.0, 1.0]) ** 2 # Observation x,y position covariance
```

假设模型预测的位置、航向的不确定较小。

速度预测的不确定性较大

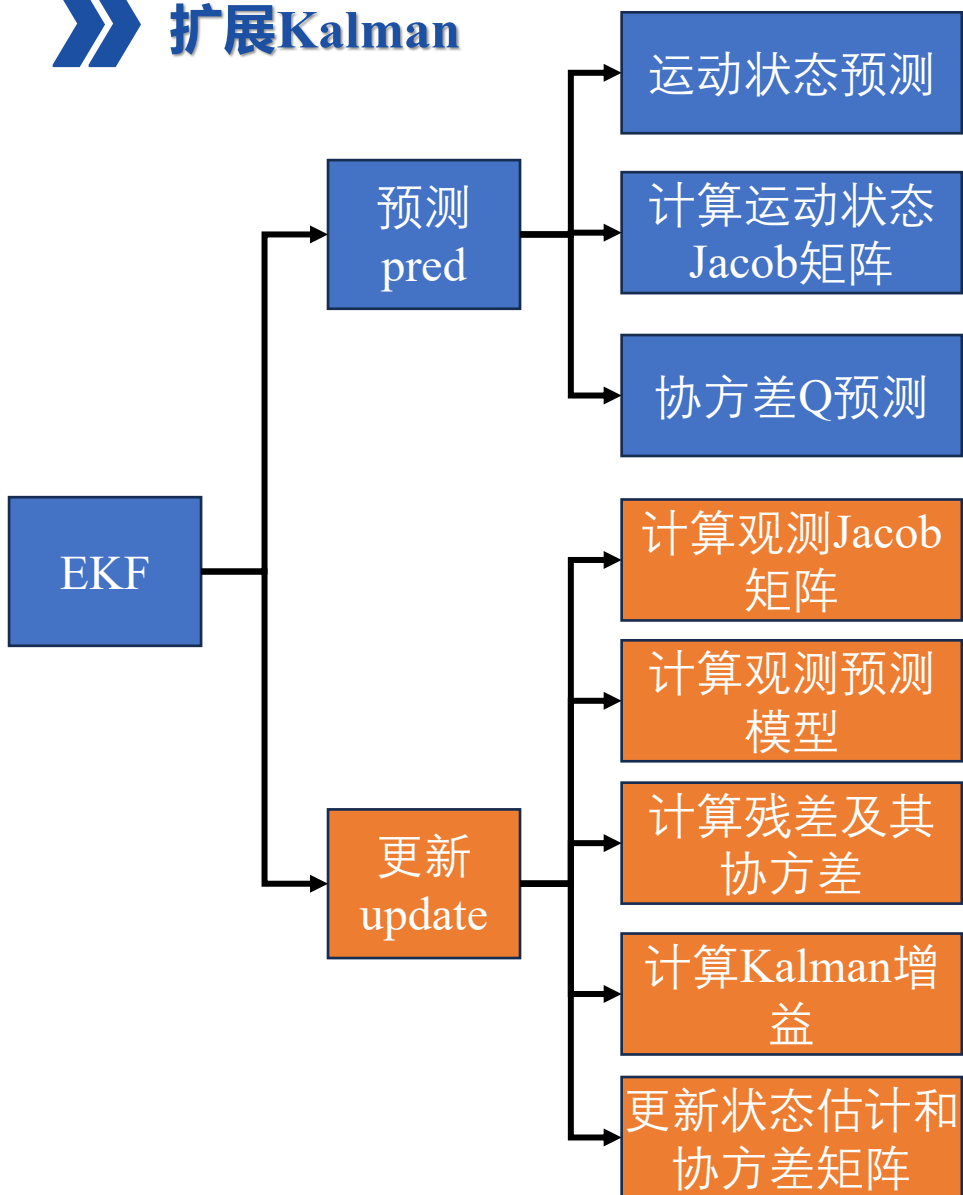
观测噪声较大，可基于传感器厂家的标定值配置，也通过静态测试获取假设：GPS观测噪声大于机器人运动的噪声。

Q：控制预测模型的信任程度，值越小越信任模型。反之，设置过大则依赖观测，比如认为传感器精度极高，如：室内的红外动补。

R：控制观测数据的信任程度，值越小越信任观测。反之，设置过大则依赖模型预测。

Part 2 | 扩展Kalman滤波定位

» 扩展Kalman



=== Predict ===

$$x_{Pred} = Fx_t + Bu_t$$

$$P_{Pred} = J_f P_t J_f^T + Q$$

=== Update ===

$$z_{Pred} = Hx_{Pred}$$

$$y = z - z_{Pred}$$

$$S = J_g P_{Pred} J_g^T + R$$

$$K = P_{Pred} J_g^T S^{-1}$$

$$x_{t+1} = x_{Pred} + Ky$$

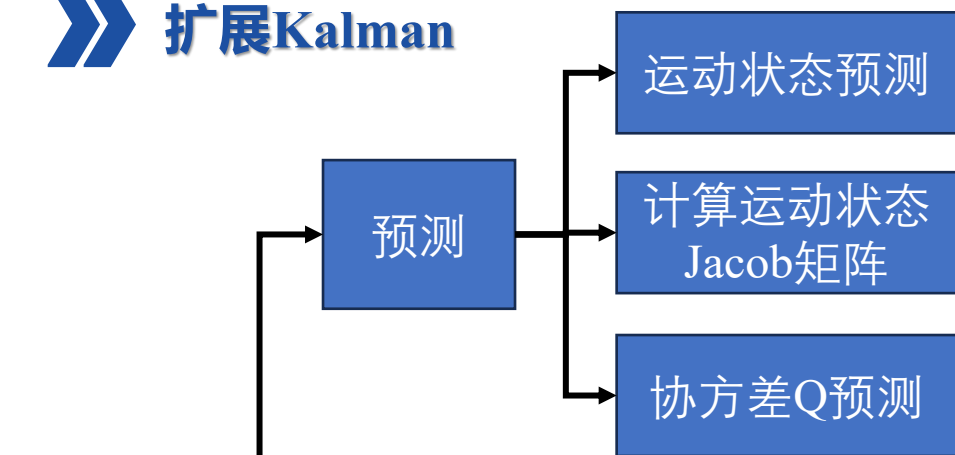
$$P_{t+1} = (I - KJ_g)P_{Pred}$$

```
xPred = motion_model(xEst, u)
jF = jacob_f(xEst, u)
PPred = jF @ PEst @ jF.T + Q
```

```
jH = jacob_h()
zPred = observation_model(xPred)
y = z - zPred
S = jH @ PPred @ jH.T + R
K = PPred @ jH.T @ np.linalg.inv(S)
xEst = xPred + K @ y
PEst = (np.eye(len(xEst)) - K @ jH) @ PPred
```

Part 2 | 扩展Kalman滤波定位

» 扩展Kalman



=== Predict ===

$$\mathbf{x}_{Pred} = \mathbf{F}\mathbf{x}_t + \mathbf{B}u_t$$

$$\mathbf{P}_{Pred} = \mathbf{J}_f \mathbf{P}_t \mathbf{J}_f^T + \mathbf{Q}$$

```
xPred = motion_model(xEst, u)
jF = jacob_f(xEst, u)
PPred = jF @ PEst @ jF.T + Q
```

EKF

航迹推算模型

对运动模型求导

$$\begin{bmatrix} x + v \cos(\phi) \Delta t \\ y + v \sin(\phi) \Delta t \\ \phi + \omega \Delta t \\ v \end{bmatrix}$$

运动模型：当前状态估计

$$\mathbf{J}_f = \begin{bmatrix} \frac{\partial x'}{\partial x} & \frac{\partial x'}{\partial y} & \frac{\partial x'}{\partial \phi} & \frac{\partial x'}{\partial v} \\ \frac{\partial y'}{\partial x} & \frac{\partial y'}{\partial y} & \frac{\partial y'}{\partial \phi} & \frac{\partial y'}{\partial v} \\ \frac{\partial \phi'}{\partial x} & \frac{\partial \phi'}{\partial y} & \frac{\partial \phi'}{\partial \phi} & \frac{\partial \phi'}{\partial v} \\ \frac{\partial v'}{\partial x} & \frac{\partial v'}{\partial y} & \frac{\partial v'}{\partial \phi} & \frac{\partial v'}{\partial v} \end{bmatrix}$$

$$= \begin{bmatrix} 1 & 0 & -v \sin(\phi) \Delta t & \cos(\phi) \Delta t \\ 0 & 1 & v \cos(\phi) \Delta t & \sin(\phi) \Delta t \\ 0 & 0 & 1 & 0 \\ 0 & 0 & 0 & 1 \end{bmatrix}$$

```
def jacob_f(x, u):
```

```
    yaw = x[2, 0]
```

```
    v = u[0, 0]
```

```
    jF = np.array([
```

```
        [1.0, 0.0, -DT * v * math.sin(yaw), DT * math.cos(yaw)],
```

```
        [0.0, 1.0, DT * v * math.cos(yaw), DT * math.sin(yaw)],
```

```
        [0.0, 0.0, 1.0, 0.0],
```

```
        [0.0, 0.0, 0.0, 1.0]
```

```
    ])
```

```
    return jF
```

Part 2 | 扩展Kalman滤波定位

» 扩展Kalman

```
def jacob_h():  
    # Jacobian of Observation Model  
    jH = np.array([  
        [1, 0, 0, 0],  
        [0, 1, 0, 0]  
    ])  
  
    return jH
```

EKF

更新

计算观测Jacob
矩阵

计算观测预测
模型

计算残差及其
协方差

计算Kalman增
益

更新状态估计和
协方差矩阵

=== Update ===

$$z_{Pred} = Hx_{Pred}$$

$$y = z - z_{Pred}$$

$$S = J_g P_{Pred} \cdot J_g^T + R$$

$$K = P_{Pred} \cdot J_g^T S^{-1}$$

$$x_{t+1} = x_{Pred} + Ky$$

$$P_{t+1} = (I - KJ_g)P_{Pred}$$

从定位传感器（GPS）获取最新的定位信息

$$\begin{bmatrix} x' \\ y' \end{bmatrix} = g(\mathbf{x}) = \begin{bmatrix} x \\ y \end{bmatrix}$$

对定位状态 (观测) 求导

$$J_g = \begin{bmatrix} \frac{\partial x'}{\partial x} & \frac{\partial x'}{\partial y} & \frac{\partial x'}{\partial \phi} & \frac{\partial x'}{\partial v} \\ \frac{\partial y'}{\partial x} & \frac{\partial y'}{\partial y} & \frac{\partial y'}{\partial \phi} & \frac{\partial y'}{\partial v} \end{bmatrix}$$
$$= \begin{bmatrix} 1 & 0 & 0 & 0 \\ 0 & 1 & 0 & 0 \end{bmatrix}$$

jH = jacob_h()

zPred = observation_model(xPred)

y = z - zPred

S = jH @ PPred @ jH.T + R

K = PPred @ jH.T @ np.linalg.inv(S)

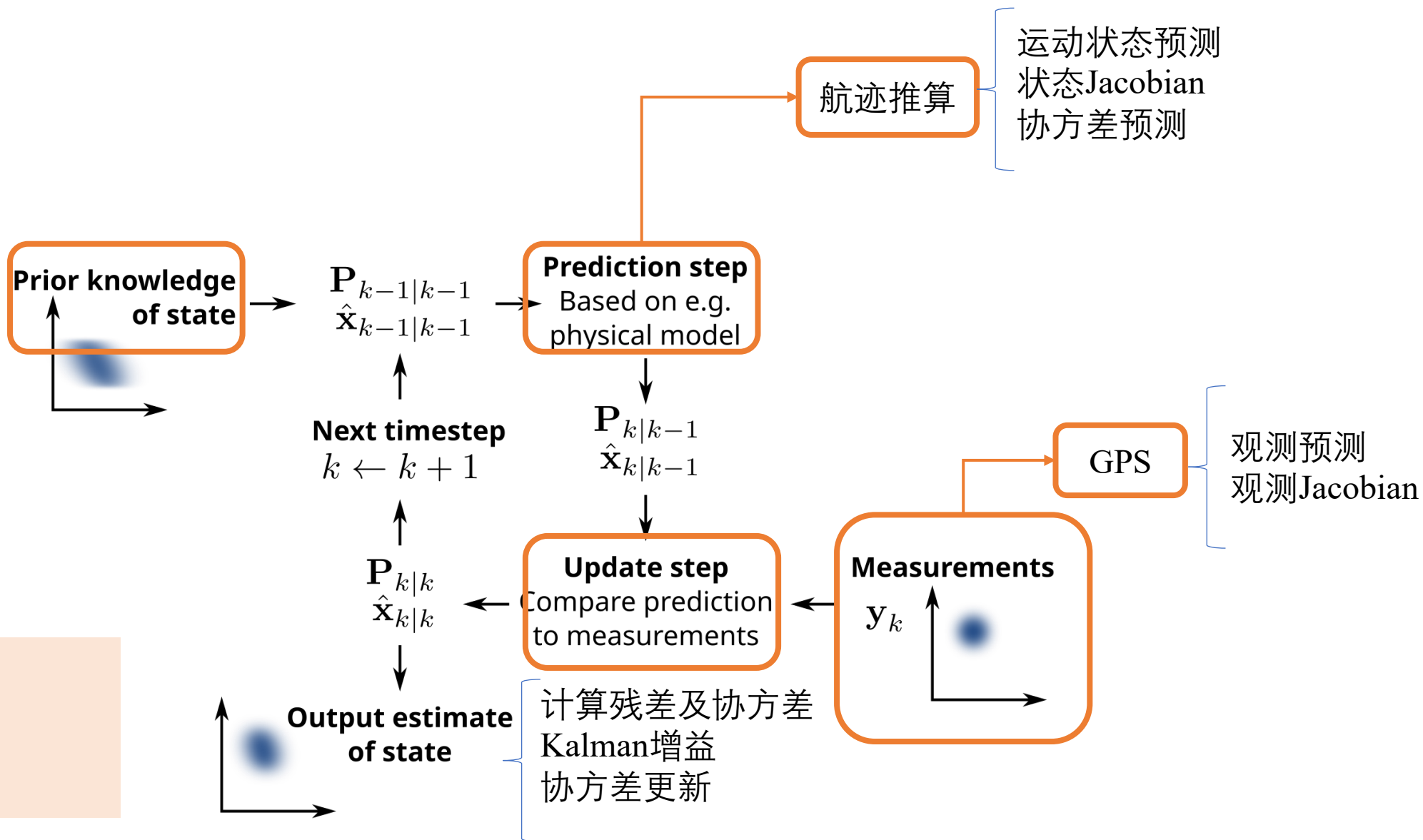
xEst = xPred + K @ y

PEst = (np.eye(len(xEst)) - K @ jH) @ PPred

Part 2 | 扩展Kalman滤波定位

扩展Kalman

状态估计初始化
协方差矩阵
运动噪声定义
观测噪声定义



修改:

1. 运动噪声分布
 2. 定位噪声分布
- 观察定位效果

Part 2 | 扩展Kalman滤波定位

» 扩展Kalman—考虑速度矫正

车速表的工作原理： 现代汽车的车速表信号通常来自车轮转速传感器（或变速箱输出轴转速传感器）。车速表控制系统知道车辆出厂时原厂轮胎的标准尺寸（直径/周长），并据此计算车速：车速 = 车轮**转速** × **轮胎周长**。

其它影响因素：

- 更换不同直径轮胎
- 胎压
- 不同地面摩擦系数：砂石、积水、
- 里程计标定误差



在EKF的基础上，引入对速度的矫正因子。
进一步提升系统估计精度。



类似**无人机**在不同海拔、风力下的动力速度也受到空气密度影响；
船、潜水艇的速度则受水密度影响，存在一定的波动。

Part 2 | 扩展Kalman滤波定位

扩展Kalman—考虑速度矫正

在EKF的基础上，引入对速度的矫正因子。

2D 刚体运动模型描述了平面上物体（如机器人）的位置和姿态随时间的变化规律。用四维状态向量，位置坐标 (x, y) ，航向角 θ 和速度 v 构成。

state vector = $[x, y, \theta, v]^T$



state vector = $[x, y, \theta, v, s]^T$

增加一个对 v 变化描述的比例因子 s 。

$$\dot{x} = v \cos(\phi) \quad \dot{x} = vs \cos(\phi)$$

$$\dot{y} = v \sin(\phi) \quad \dot{y} = vs \sin(\phi)$$

$$\dot{\phi} = \omega$$

$$\dot{\phi} = \omega$$

航向角不变

整体建模变化

1. 运动模型：计算速度时需要考虑 s

$$\mathbf{x}_{t+1} = f(\mathbf{x}_t, \mathbf{u}_t) = F\mathbf{x}_t + B\mathbf{u}_t$$

$$F = \begin{bmatrix} 1 & 0 & 0 & 0 \\ 0 & 1 & 0 & 0 \\ 0 & 0 & 1 & 0 \\ 0 & 0 & 0 & 0 \end{bmatrix}$$

$$B = \begin{bmatrix} \cos(\phi)\Delta t & 0 \\ \sin(\phi)\Delta t & 0 \\ 0 & \Delta t \\ 1 & 0 \end{bmatrix}$$

$$F = \begin{bmatrix} 1 & 0 & 0 & 0 & 0 \\ 0 & 1 & 0 & 0 & 0 \\ 0 & 0 & 1 & 0 & 0 \\ 0 & 0 & 0 & 0 & 0 \\ 0 & 0 & 0 & 0 & 1 \end{bmatrix}$$

$$B = \begin{bmatrix} \cos(\phi)\Delta ts & 0 \\ \sin(\phi)\Delta ts & 0 \\ 0 & \Delta t \\ 1 & 0 \\ 0 & 0 \end{bmatrix}$$

齐次项

Part 2 | 扩展Kalman滤波定位

扩展Kalman—考虑速度矫正

在EKF的基础上，引入对速度的矫正因子。

2D 刚体运动模型描述了平面上物体（如机器人）的位置和姿态随时间的变化规律。用四维状态向量，位置坐标 (x, y) ，航向角 θ 和速度 v 构成。

state vector = $[x, y, \theta, v]^T$



state vector = $[x, y, \theta, v, \mathbf{s}]^T$

增加一个对 v 变化描述的比例因子 s 。

整体建模变化

$$J_f = \begin{bmatrix} \frac{\partial x'}{\partial x} & \frac{\partial x'}{\partial y} & \frac{\partial x'}{\partial \phi} & \frac{\partial x'}{\partial v} \\ \frac{\partial y'}{\partial x} & \frac{\partial y'}{\partial y} & \frac{\partial y'}{\partial \phi} & \frac{\partial y'}{\partial v} \\ \frac{\partial \phi'}{\partial x} & \frac{\partial \phi'}{\partial y} & \frac{\partial \phi'}{\partial \phi} & \frac{\partial \phi'}{\partial v} \\ \frac{\partial v'}{\partial x} & \frac{\partial v'}{\partial y} & \frac{\partial v'}{\partial \phi} & \frac{\partial v'}{\partial v} \end{bmatrix} \quad \swarrow \quad J_f = \begin{bmatrix} \frac{\partial x'}{\partial x} & \frac{\partial x'}{\partial y} & \frac{\partial x'}{\partial \phi} & \frac{\partial x'}{\partial v} & \frac{\partial x'}{\partial s} \\ \frac{\partial y'}{\partial x} & \frac{\partial y'}{\partial y} & \frac{\partial y'}{\partial \phi} & \frac{\partial y'}{\partial v} & \frac{\partial y'}{\partial s} \\ \frac{\partial \phi'}{\partial x} & \frac{\partial \phi'}{\partial y} & \frac{\partial \phi'}{\partial \phi} & \frac{\partial \phi'}{\partial v} & \frac{\partial \phi'}{\partial s} \\ \frac{\partial v'}{\partial x} & \frac{\partial v'}{\partial y} & \frac{\partial v'}{\partial \phi} & \frac{\partial v'}{\partial v} & \frac{\partial v'}{\partial s} \\ \frac{\partial s'}{\partial x} & \frac{\partial s'}{\partial y} & \frac{\partial s'}{\partial \phi} & \frac{\partial s'}{\partial v} & \frac{\partial s'}{\partial s} \end{bmatrix}$$

$$= \begin{bmatrix} 1 & 0 & -v \sin(\phi) \Delta t & \cos(\phi) \Delta t \\ 0 & 1 & v \cos(\phi) \Delta t & \sin(\phi) \Delta t \\ 0 & 0 & 1 & 0 \\ 0 & 0 & 0 & 1 \end{bmatrix}$$

$$\begin{bmatrix} 1 & 0 & -vs \sin(\phi) \Delta t & s \cos(\phi) \Delta t & \cos(\phi) v \Delta t \\ 0 & 1 & vs \cos(\phi) \Delta t & s \sin(\phi) \Delta t & v \sin(\phi) \Delta t \\ 0 & 0 & 1 & 0 & 0 \\ 0 & 0 & 0 & 1 & 0 \end{bmatrix}$$

Part 2 | 扩展Kalman滤波定位

» 扩展Kalman—考虑速度矫正

在EKF的基础上，引入对速度的矫正因子。

2D 刚体运动模型描述了平面上物体（如机器人）的位置和姿态随时间的变化规律。用四维状态向量，位置坐标 (x,y) ，航向角 θ 和速度 v 构成。

state vector= $[x, y, \theta, v]^T$



state vector= $[x, y, \theta, v, s]^T$

增加一个对 v 变化描述的比例因子 s 。

整体建模变化

3. 运动状态预测的协方差Q

```
# Covariance for EKF simulation
Q = np.diag([
    0.1, # variance of location on x-axis
    0.1, # variance of location on y-axis
    np.deg2rad(1.0), # variance of yaw angle
    0.4, # variance of velocity
    0.1 # variance of scale factor
]) ** 2 # predict state covariance
R = np.diag([0.1, 0.1]) ** 2 # Observation x,y position covariance
```

Part 2 | 扩展Kalman滤波定位

» 扩展Kalman—考虑速度矫正

在EKF的基础上，引入对速度的矫正因子。

2D 刚体运动模型描述了平面上物体（如机器人）的位置和姿态随时间的变化规律。用四维状态向量，位置坐标 (x,y) ，航向角 θ 和速度 v 构成。

state vector = $[x, y, \theta, v]^T$

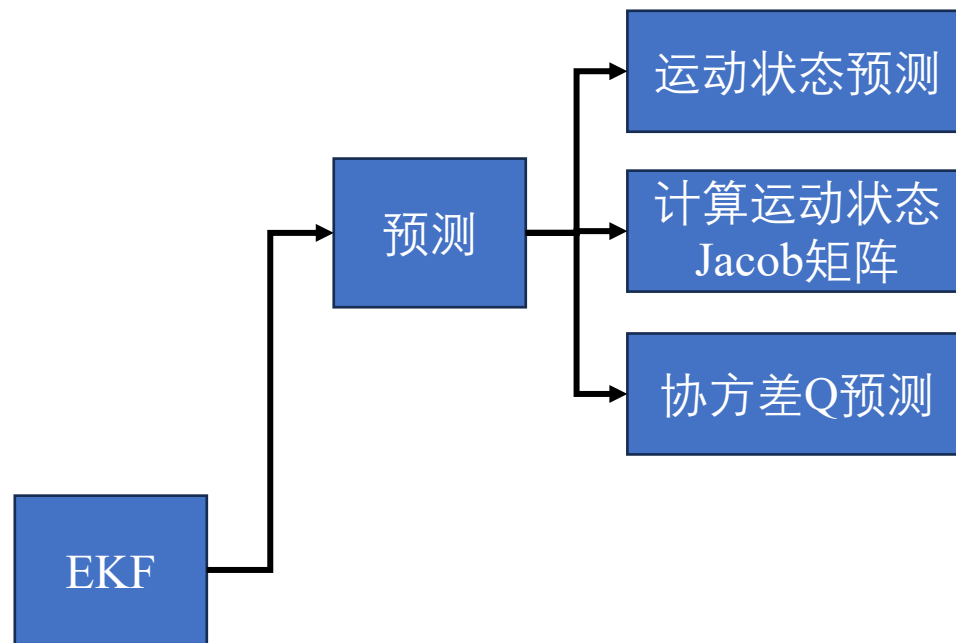


state vector = $[x, y, \theta, v, \underline{s}]^T$

增加一个对 v 变化描述的比例因子 s 。

整体建模变化

总结下来，对计算产生的影响主要还是EKF的预测分支

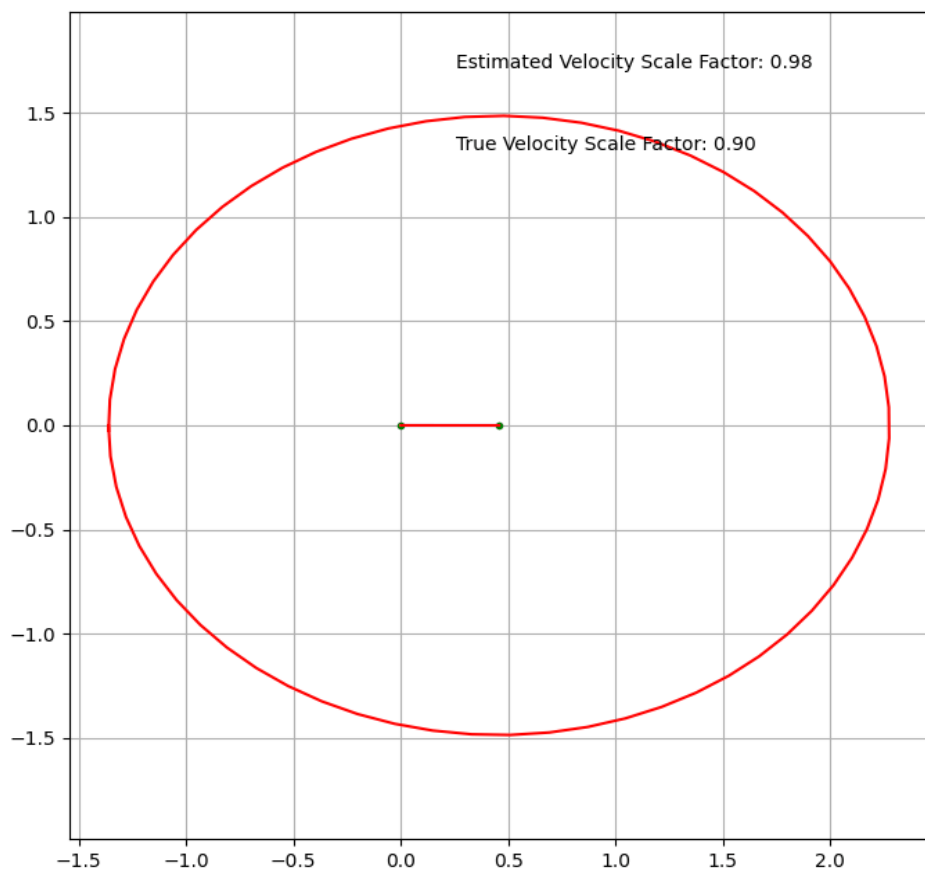


```
xPred = motion_model(xEst, u)
jF = jacob_f(xEst, u)
PPred = jF @ PEst @ jF.T + Q
```

Part 2 | 扩展Kalman滤波定位



扩展Kalman—考虑速度矫正



实现：

1. 考虑对速度进行矫正，并设置速度矫正因子s
修改：

2. 运动噪声分布

3. 定位噪声分布



噪声过大会淹没速度波动

观察定位效果，以及对s的估计误差。

间接影响：

虽然车辆的运动状态（速度的放缩）不影响定位传感器的观测。但在EKF的更新阶段，观测模型需要从运动模型中提取运动估计坐标，需要进行齐次转化，满足矩阵乘法。

观测模型：

$$H = \begin{bmatrix} 1 & 0 & 0 & 0 & 0 \\ 0 & 1 & 0 & 0 & 0 \end{bmatrix}$$

观测模型的Jacobian：

$$J_g = \begin{bmatrix} \frac{\partial x'}{\partial x} & \frac{\partial x'}{\partial y} & \frac{\partial x'}{\partial \phi} & \frac{\partial x'}{\partial v} & \frac{\partial x'}{\partial s} \\ \frac{\partial y'}{\partial x} & \frac{\partial y'}{\partial y} & \frac{\partial y'}{\partial \phi} & \frac{\partial y'}{\partial v} & \frac{\partial y'}{\partial s} \end{bmatrix}$$
$$= \begin{bmatrix} 1 & 0 & 0 & 0 & 0 \\ 0 & 1 & 0 & 0 & 0 \end{bmatrix}$$

目录

Contents

01 课程内容安排

02 扩展Kalman滤波定位

03 集合Kalman滤波定位

04 无迹Kalman滤波定位

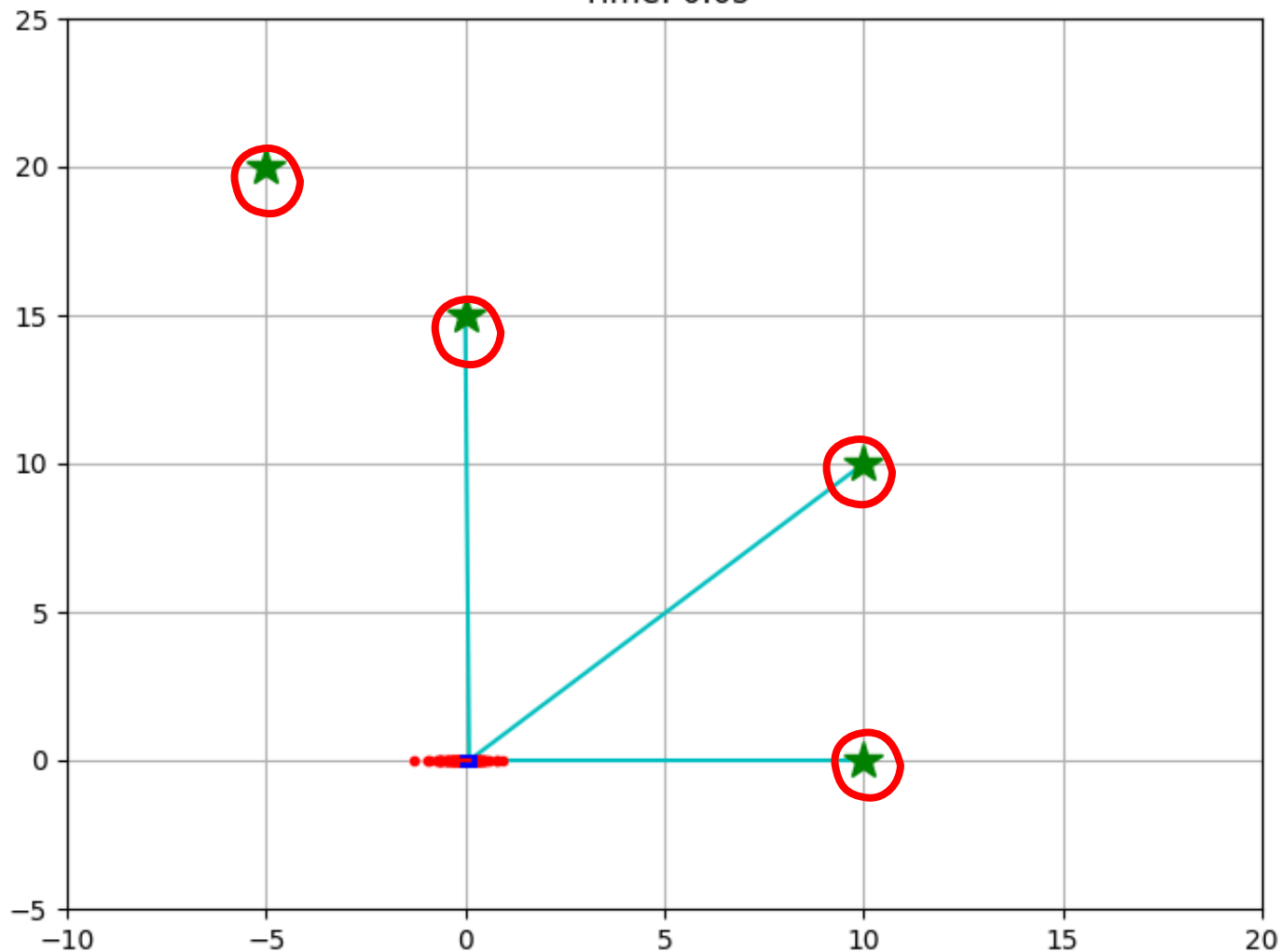
05 直方图滤波定位

06 粒子滤波定位

Part 6 | 粒子滤波定位

粒子滤波定位 (回顾)

Time: 0.0s



- matplotlib绘制并实时更新算法结果。
- **蓝色**: GT轨迹, 基本与红色轨迹重合。
- **黑色**: 航位推算轨迹 (存在累积误差)
- **红色**: 粒子滤波算法结果 (实时粒子, 历史轨迹)
- **绿色五角星**: 为锚点传感器 (如RFID、UWB) 位置, 并假设机器人能够通过传感器对固定信标进行测距 (即为动态刷新时当前节点与五角星的**连线**)。基础为三角定位。
- 定位过程中, 本地节点有策略的选择近邻锚点。

粒子滤波定位算法, 一方面基于**定位传感器**测量自身位置 (带噪), 另一方面, 预测过程通过**随机粒子**进行潜在情况的预测, 再通过统计后验筛选粒子。

粒子滤波定位

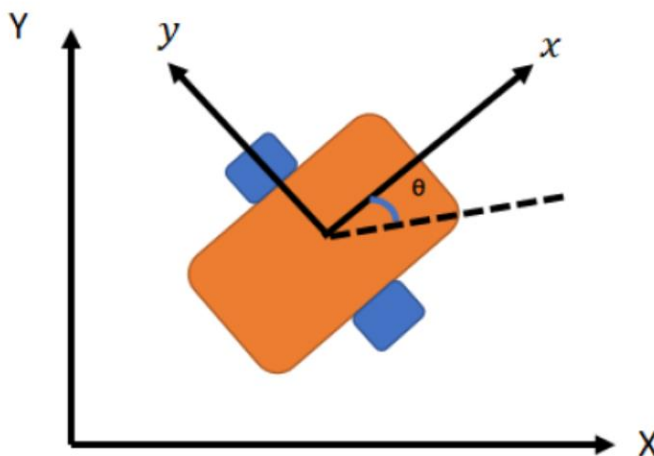
2D运动模型

- 2D 刚体运动模型描述了平面上物体（如机器人）的位置和姿态随时间的变化规律。
- 在平面运动中，刚体的状态由位置 (x, y) 和航向角 Yaw (θ) 确定，构成 3 维状态向量：

$$\text{state} = [x, y, \theta]^T$$

- 在 2D 刚体运动模型中加入速度状态（即扩展为 4 维状态向量）可以更准确地描述系统动态特性，特别是在处理非连续控制输入或需要预测未来轨迹的场景中。

$$\text{state} = [x, y, \theta, \mathbf{v}]^T$$



时序变化关系：

$$x(i+1) = x(i) + v \cdot \Delta t \cdot \cos(\theta(i))$$

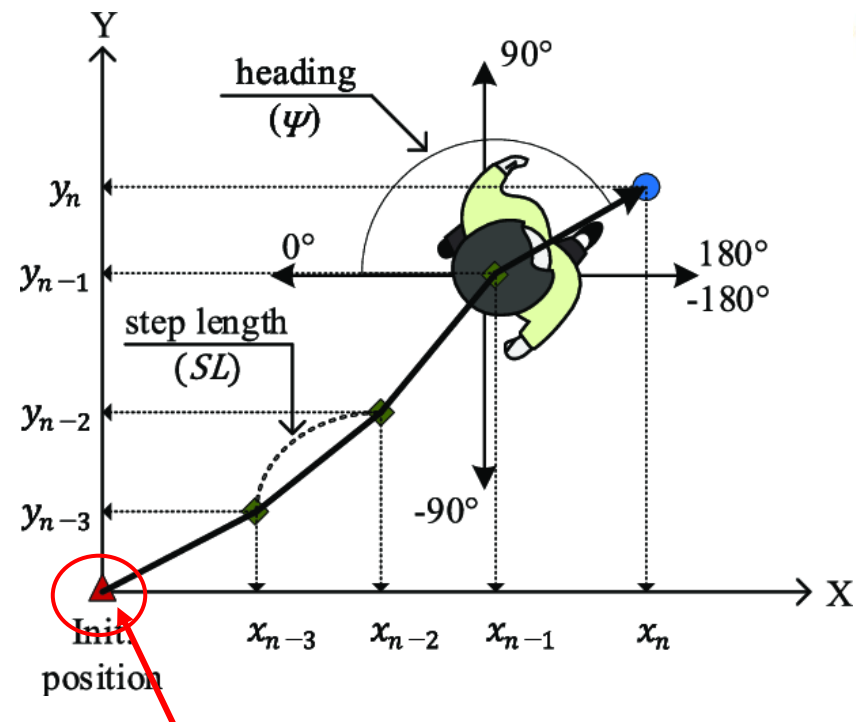
$$y(i+1) = y(i) + v \cdot \Delta t \cdot \sin(\theta(i))$$

$$\theta(i+1) = \theta(i) + r \cdot \Delta t$$

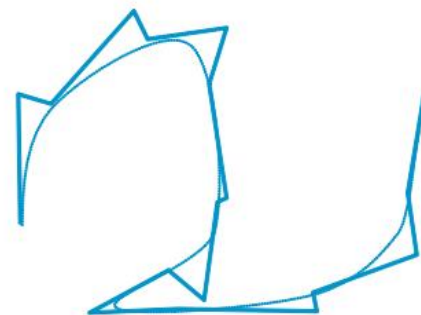
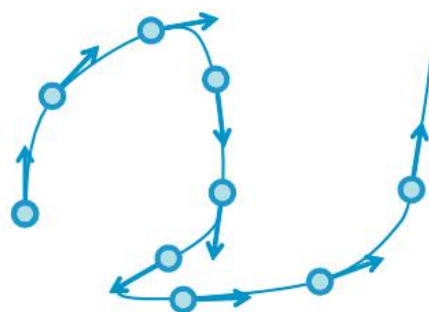
Part 6 | 粒子滤波定位

粒子滤波定位

航迹推算 Dead Reckoning



1st Order Model



通过控制矩阵来描述，DT是采样时间， $X_t=[x,y,yaw,v]$ 是机器人状态向量[2,0]是朝向

Particle filter localization

若初始位置为 (x_0, y_0) ，某段时间内移动距离为 d_i 、航向角为 θ_i ，则新位置 (x_n, y_n) 为：

$$X_n = X_0 + \sum_{k=0}^n d_i \cos \theta_i$$
$$Y_n = Y_0 + \sum_{k=0}^n d_i \sin \theta_i$$

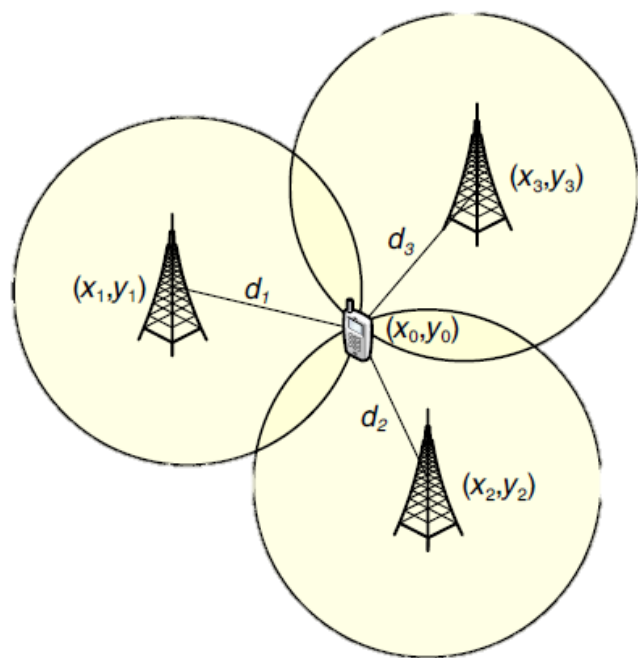


```
B = np.array([[DT * math.cos(x[2, 0]), 0],
              [DT * math.sin(x[2, 0]), 0],
              [0.0, DT],
              [1.0, 0.0]])
x = F.dot(x) + B.dot(u)
```

- 利用现在**物体位置及速度**推定未来位置方向的航海技术，容易受噪声误差影响，形成累积误差。
- DR一般依赖自身传感器进行测角（磁力计、陀螺仪）和测速（轮速计、加速度计），不依赖外部信息。

粒子滤波定位

三角定位



- 已知三角形的三个顶点中两个顶点的位置，以及目标与这两个顶点的距离或角度关系，可通过几何计算确定第三个顶点（**目标**）的位置。
- 平面场景：至少需要 2 个参考点 + 目标到两点的距离（或角度）。
- 三维场景：至少需要 3 个参考点（形成立体三角），才能确定目标的三维坐标（如 GPS 定位）。

基于距离的三角定位（Range-based）

通过测量目标到多个参考点的**距离**，利用“圆（或球）的交点”确定位置。

在时间同步的情况下，距离一般通过无线电信号收发的时间（信号内容带有时间戳） t ，即光速一定 v ，距离 $d=vt$ 可得。

假设：机器人能够通过传感器获取自身到锚点的**距离**，从而利用三角定位估计自身位置。因此，设定若干固定点坐标，假设短时间内它们的**绝对位置**静止。

```
rf_id = np.array([[10.0, 0.0],  
                  [10.0, 10.0],  
                  [0.0, 15.0],  
                  [-5.0, 20.0]])
```

```
for i in range(len(rf_id[:, 0])):  
    dx = x_true[0, 0] - rf_id[i, 0]  
    dy = x_true[1, 0] - rf_id[i, 1]  
    d = math.hypot(dx, dy)
```

Part 6 | 粒子滤波定位

Particle filter localization



粒子滤波定位

核心思想是通过大量“粒子”（模拟目标可能位置的样本）来近似目标的概率分布，进而根据观测数据不断更新粒子权重，最终筛选出最可能的目标位置。

依赖： 机器人运动模型、观测结果（即传感器测量信息）

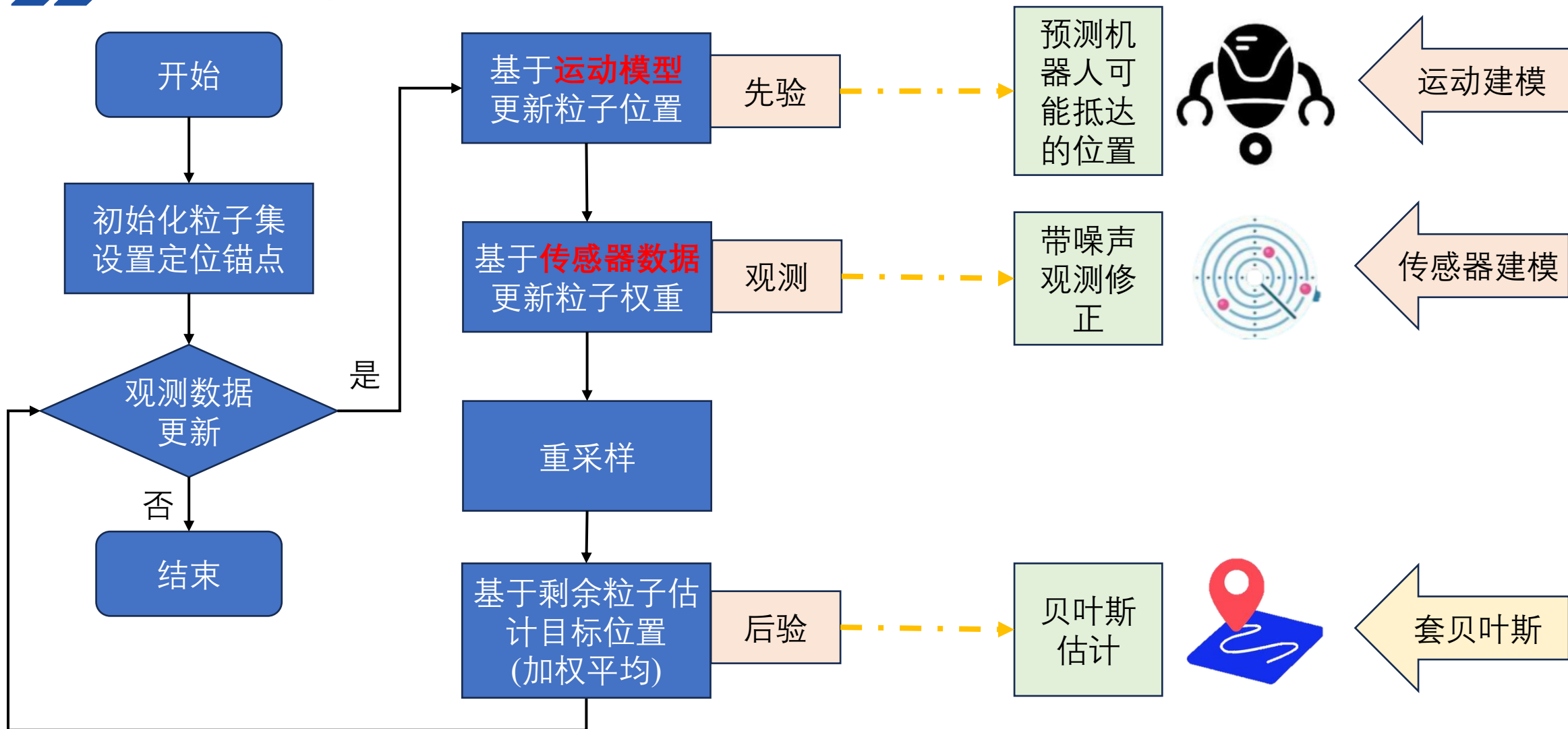
流程：

- **预测阶段**：根据系统运动模型（如目标的速度、加速度），对粒子进行“移动”，模拟目标可能的位置变化（引入随机噪声，体现运动不确定性）。
- **更新阶段**：结合传感器观测数据（如**距离**），计算每个粒子与观测数据的匹配度（似然概率），并以此更新粒子权重（距离越近，匹配度越高，权重越大）。
- **重采样阶段**：为避免权重过低的粒子浪费计算资源，保留高权重粒子并复制，低权重粒子被淘汰，使粒子集合始终聚焦于高概率区域。

Part 6 | 粒子滤波定位

Particle filter localization

粒子滤波定位



Part 6 | 粒子滤波定位

Particle filter localization



粒子滤波定位



运动建模

质点运动模型
航迹推算
Dead Reckoning

机器人状态-数据结构

```
# State Vector [x y yaw v]
x_est = np.zeros((4, 1))
x_true = np.zeros((4, 1))
```

恒定速度和角速度的圆周运动模拟

```
v = 1.0 # [m/s]
yaw_rate = 0.1 # [rad/s]
u = np.array([[v, yaw_rate]]).T
```

```
def motion_model(x, u):
    # 状态转移矩阵F (4x4) : [x, y, yaw, v]的状态更新
    F = np.array([[1.0, 0, 0, 0],
                  [0, 1.0, 0, 0],
                  [0, 0, 1.0, 0],
                  [0, 0, 0, 0]])

    # 控制矩阵B (4x2) : 将控制输入转换为状态变化
    B = np.array([[DT * math.cos(x[2, 0]), 0], # x方向位移 = 速度*时间*cos(航向角)
                  [DT * math.sin(x[2, 0]), 0], # y方向位移 = 速度*时间*sin(航向角)
                  [0.0, DT], # 航向角变化 = 角速度*时间
                  [1.0, 0.0]]) # 速度保持不变

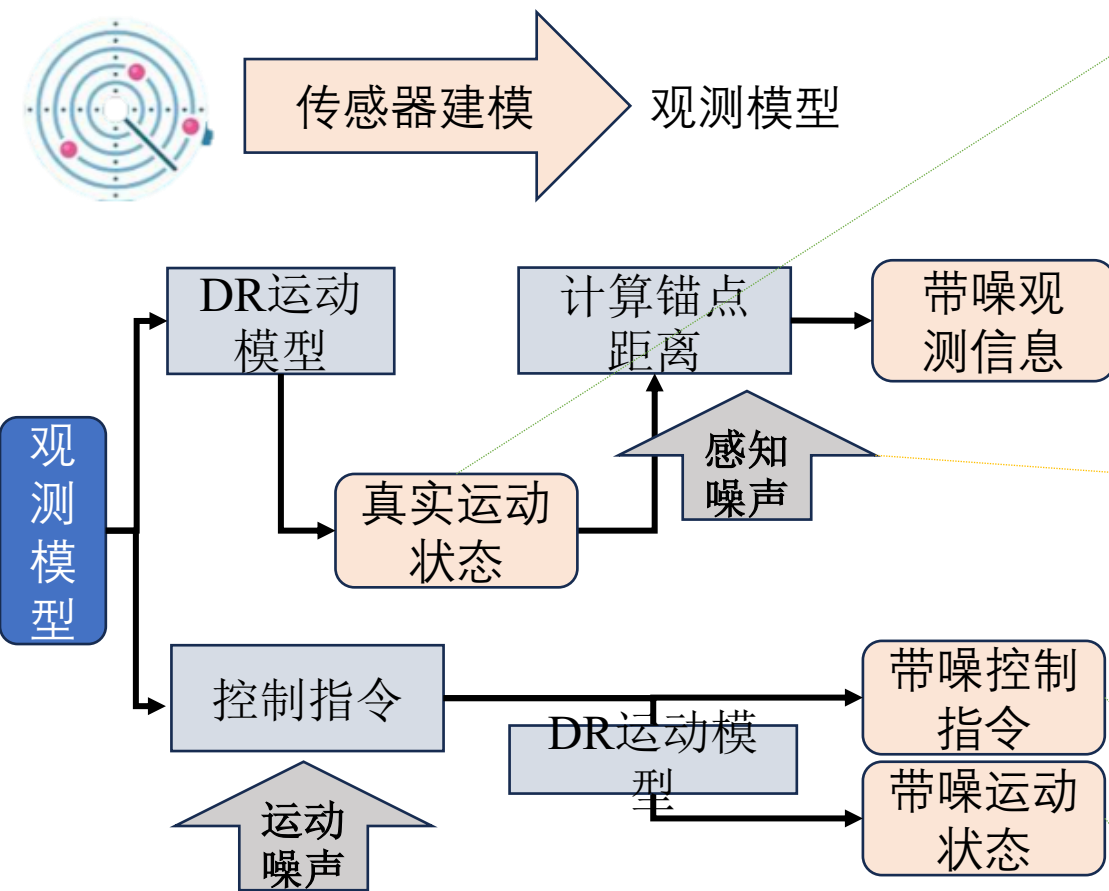
    x = F.dot(x) + B.dot(u) # 状态更新: x_new = F·x + B·u
    return x
```

原速度 + 当前时间片增量

Part 6 | 粒子滤波定位

Particle filter localization

粒子滤波定位



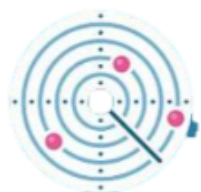
```
def observation(x_true, xd, u, rf_id):  
    x_true = motion_model(x_true, u) # 真实状态更新  
    z = np.zeros((0, 3)) # 观测数据: [距离, 地标x, 地标y]  
  
    for i in range(len(rf_id[:, 0])):  
        # 计算真实距离  
        dx = x_true[0, 0] - rf_id[i, 0]  
        dy = x_true[1, 0] - rf_id[i, 1]  
        d = math.hypot(dx, dy) # 欧氏距离  
  
        if d <= MAX_RANGE: # 仅保留有效范围内的观测  
            dn = d + np.random.randn() * Q_sim[0, 0] ** 0.5 # 加入观测噪声  
            zi = np.array([[dn, rf_id[i, 0], rf_id[i, 1]]])  
            z = np.vstack((z, zi)) # 堆叠观测数据  
  
        # 控制输入加入噪声 (模拟实际控制误差)  
        ud1 = u[0, 0] + np.random.randn() * R_sim[0, 0] ** 0.5  
        ud2 = u[1, 0] + np.random.randn() * R_sim[1, 1] ** 0.5  
        ud = np.array([[ud1, ud2]]).T  
  
    xd = motion_model(xd, ud) # 航迹推演 (Dead Reckoning) 状态更新  
    return x_true, z, xd, ud
```


Part 6 | 粒子滤波定位



粒子滤波定位

Particle filter localization

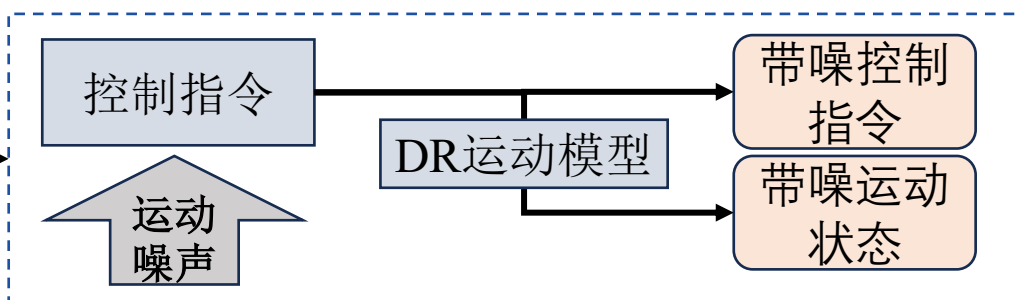


传感器建模

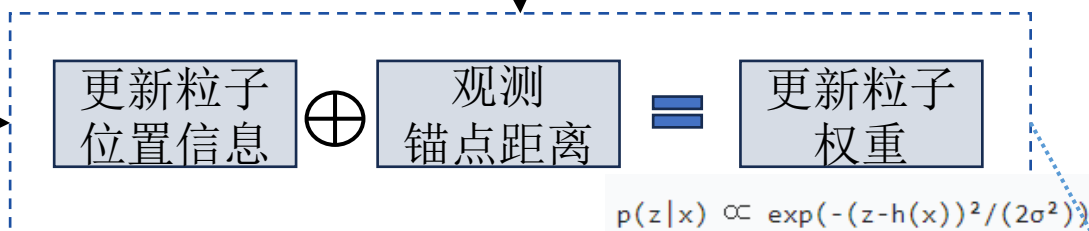
粒子滤波定位

随机预测：对每个粒子施加随机噪声，模拟系统不确定性

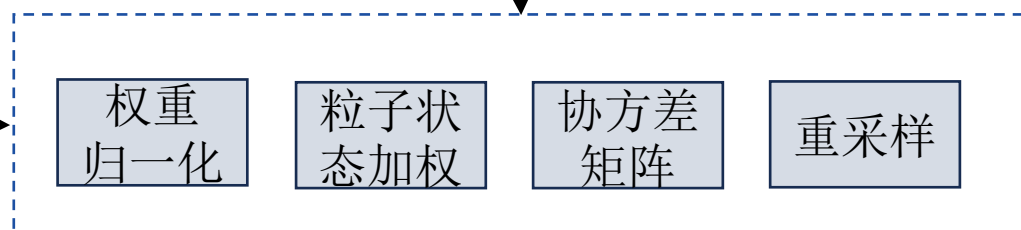
遍历所有粒子



更新粒子权重



粒子重采样



```
for ip in range(NP):
    x = np.array([px[:, ip]]).T # 获取第ip个粒子的状态
    w = pw[0, ip] # 获取对应权重

    # 为控制输入添加噪声（模拟控制不确定性）
    ud1 = u[0, 0] + np.random.randn() * R[0, 0] ** 0.5
    ud2 = u[1, 0] + np.random.randn() * R[1, 1] ** 0.5
    ud = np.array([[ud1, ud2]]).T

    # 使用带噪声的控制输入更新粒子状态
    x = motion_model(x, ud)

    # 更新粒子存储和权重
    px[:, ip] = x[:, 0]
    pw[0, ip] = w

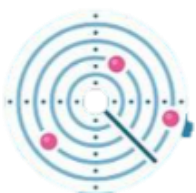
for i in range(len(z[:, 0])): # 对每个观测数据
    dx = x[0, 0] - z[i, 1] # 粒子位置与地标x的差值
    dy = x[1, 0] - z[i, 2] # 粒子位置与地标y的差值
    pre_z = math.hypot(dx, dy) # 粒子预测的与地标的距离
    dz = pre_z - z[i, 0] # 预测距离与实际观测距离的残差

    # 基于残差计算高斯似然，更新粒子权重
    w = w * gauss_likelihood(dz, math.sqrt(Q[0, 0]))
```

Part 6 | 粒子滤波定位

Particle filter localization

粒子滤波定位



传感器建模

粒子滤波定位

随机预测：对每个粒子施加随机噪声，模拟系统不确定性

遍历所有粒子

控制指令

DR运动模型

带噪控制
指令

带噪运动
状态

运动
噪声

```
pw = pw / pw.sum() # 确保所有粒子权重之和为1
```

```
x_est = px.dot(pw.T) # 加权平均：粒子状态的加权和  
p_est = calc_covariance(x_est, px, pw) # 计算估计的协方差矩阵
```

更新粒子权重

更新粒子
位置信息

\oplus

观测
锚点距离

$=$

更新粒子
权重

权重 $pw < 1$, 分母为 pw 的平方和 $N_{\text{eff}} = \frac{1}{\sum_{i=1}^{NP} w_i^2}$

$$p(z|x) \propto \exp(-(z-h(x))^2/(2\sigma^2))$$

```
N_eff = 1.0 / (pw.dot(pw.T))[0, 0] # 有效粒子数  
if N_eff < NTh: # 若有效粒子数低于阈值（通常为NP/2）  
    px, pw = re_sampling(px, pw) # 执行重采样
```

粒子重采样

权重
归一化

粒子状
态加权

协方差
矩阵

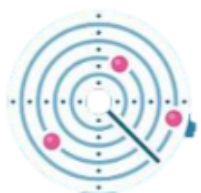
重采样

Part 6 | 粒子滤波定位

Particle filter localization



粒子滤波定位



传感器建模

噪声

```
Q = np.diag([0.2]) ** 2 # 对粒子重采样时的高斯似然, 对角阵  $0.2^2$   
R = np.diag([2.0, np.deg2rad(40.0)]) ** 2 # 噪声加在 粒子采样时的 控制输入 上  
  
# Simulation parameter  
Q_sim = np.diag([0.2]) ** 2 # 感知噪声 噪声加在 到锚点的距离估计上  
R_sim = np.diag([1.0, np.deg2rad(30.0)]) ** 2 # 噪声加在对机器人的 控制输入 上
```

仿真模拟
运动过程

锚点定位

定位噪声
 Q_{sim}

运动控制

控制噪声
 R_{sim}

粒子滤波
定位过程

粒子运动

控制噪声
 R

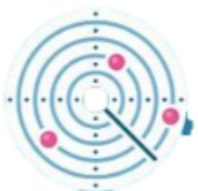
权重更新

Q 观测不确定
定性

Part 6 | 粒子滤波定位



粒子滤波定位



传感器建模

噪声

实验要求：调整定位锚点位置（改变分布），模拟不同移动轨迹，如双曲线、椭圆、梨形等机器人运动轨迹；并分析粒子采样策略、噪声分布对算法的影响。

Particle filter localization

粒子滤波定位算法总结：

目标运动（如位置、速度）和传感器观测（如距离、角度测量）都存在噪声（随机性），导致无法通过确定性模型（如航迹推演）精确预测位置。

粒子滤波通过用**大量粒子模拟这些随机性**，每个粒子代表一种“可能的运动状态”（包含位置、速度等信息）。

粒子集的分布（数量、位置）理论上需要覆盖所有“合理的可能状态”。当粒子数趋于无穷时，粒子集的分布会逼近真实的**后验概率分布**（贝叶斯滤波的理想解）。

每次观测通过**权重计算**（粒子与观测值的匹配度）筛选出“更可能符合真实状态”的粒子（权重高）；权重高的粒子被复制保留，权重低的被淘汰，粒子集逐渐聚焦到真实状态附近（后验概率收敛）。

矩阵	类型	作用对象	物理意义	在代码中的使用
R	控制噪声	运动模型（控制输入 u ）	滤波算法假设的 控制执行误差 （如电机精度不足导致的速度 / 角速度偏差）	在 <code>pf_localization()</code> 中为每个粒子的控制输入添加噪声
R_sim	控制噪声	运动模型（控制输入 u ）	仿真环境中 真实的控制执行误差	在 <code>observation()</code> 中生成带噪声的控制输入 <code>ud</code>
Q	观测噪声	观测模型（距离测量）	滤波算法假设的 距离观测误差 （如 TOF 传感器的测量噪声）	在 <code>gauss_likelihood()</code> 中计算粒子权重时作为观测噪声方差
Q_sim	观测噪声	观测模型（距离测量）	仿真环境中 真实的距离观测误差	在 <code>observation()</code> 中生成带噪声的锚点观测

目录

Contents

01 课程内容安排

02 扩展Kalman滤波定位

03 集合Kalman滤波定位

04 无迹Kalman滤波定位

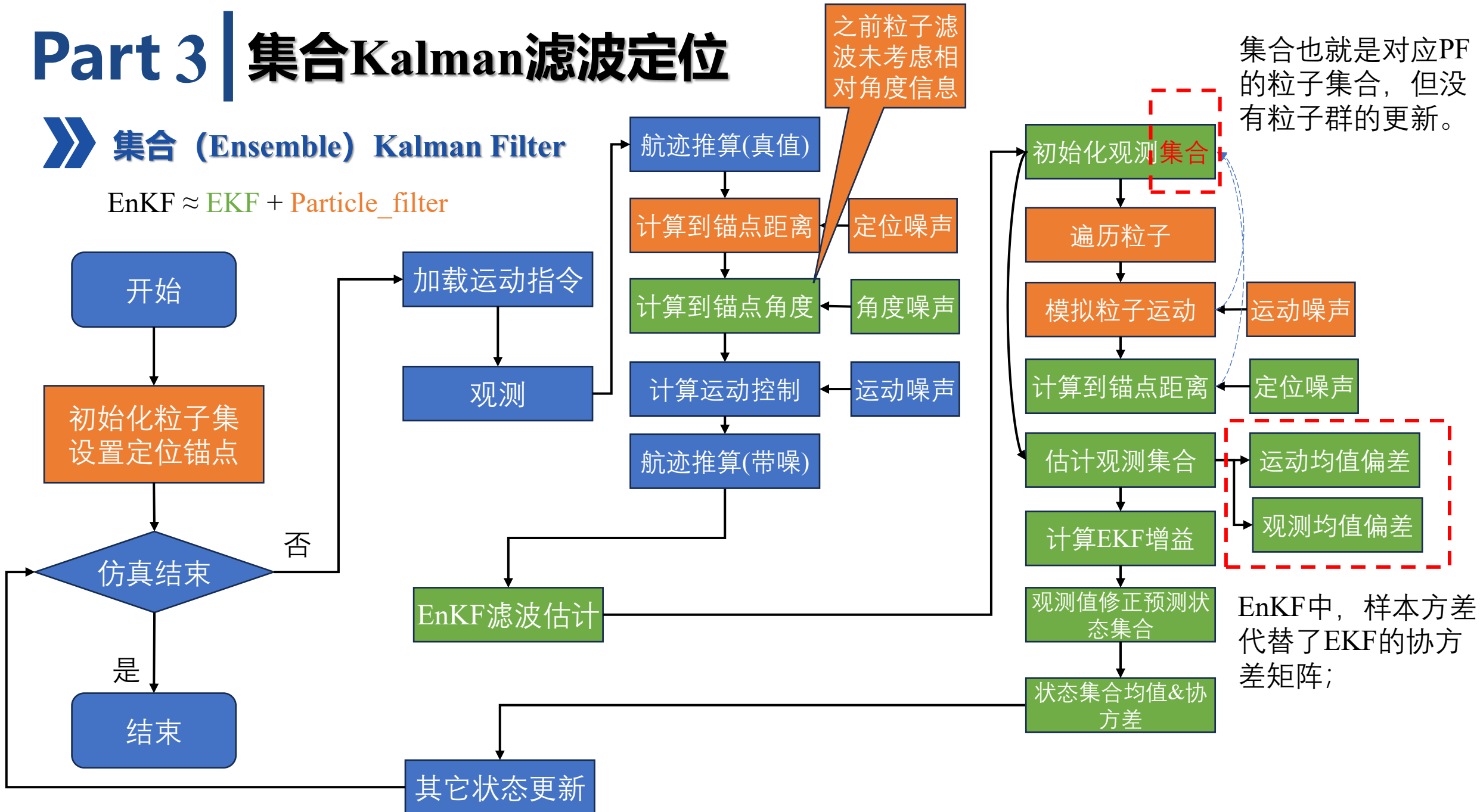
05 直方图滤波定位

06 粒子滤波定位

Part 3 | 集合Kalman滤波定位

» 集合 (Ensemble) Kalman Filter

$$\text{EnKF} \approx \text{EKF} + \text{Particle_filter}$$



通过流程图不同配色来说明集成的各部分来自原先的哪个算法, 同时维持相同操作 (蓝色)

Part 3 | 集合Kalman滤波定位



EnKF

EnKF \approx EKF + Particle_filter

航迹推算(真值)

计算到锚点距离

定位噪声

计算到锚点角度

角度噪声

观测

计算运动控制

运动噪声

航迹推算(带噪)

EnKF滤波

其它状态更新

```
def observation(xTrue, xd, u, RFID):
```

```
    xTrue = motion_model(xTrue, u)
```

```
    z = np.zeros((0, 4))
```

```
    for i in range(len(RFID[:, 0])):
```

```
        dx = RFID[i, 0] - xTrue[0, 0]
```

```
        dy = RFID[i, 1] - xTrue[1, 0]
```

```
        d = math.hypot(dx, dy)
```

```
        angle = pi_2_pi(math.atan2(dy, dx) - xTrue[2, 0])
```

```
        if d <= MAX_RANGE:
```

```
            dn = d + np.random.randn() * Q_sim[0, 0] ** 0.5 # add noise
```

```
            angle_with_noise = angle + np.random.randn() * Q_sim[1, 1] ** 0.5
```

```
            zi = np.array([dn, angle_with_noise, RFID[i, 0], RFID[i, 1]])
```

```
            z = np.vstack((z, zi))
```

```
    # add noise to input
```

```
    ud = np.array([[
```

```
        u[0, 0] + np.random.randn() * R_sim[0, 0] ** 0.5,
```

```
        u[1, 0] + np.random.randn() * R_sim[1, 1] ** 0.5]])
```

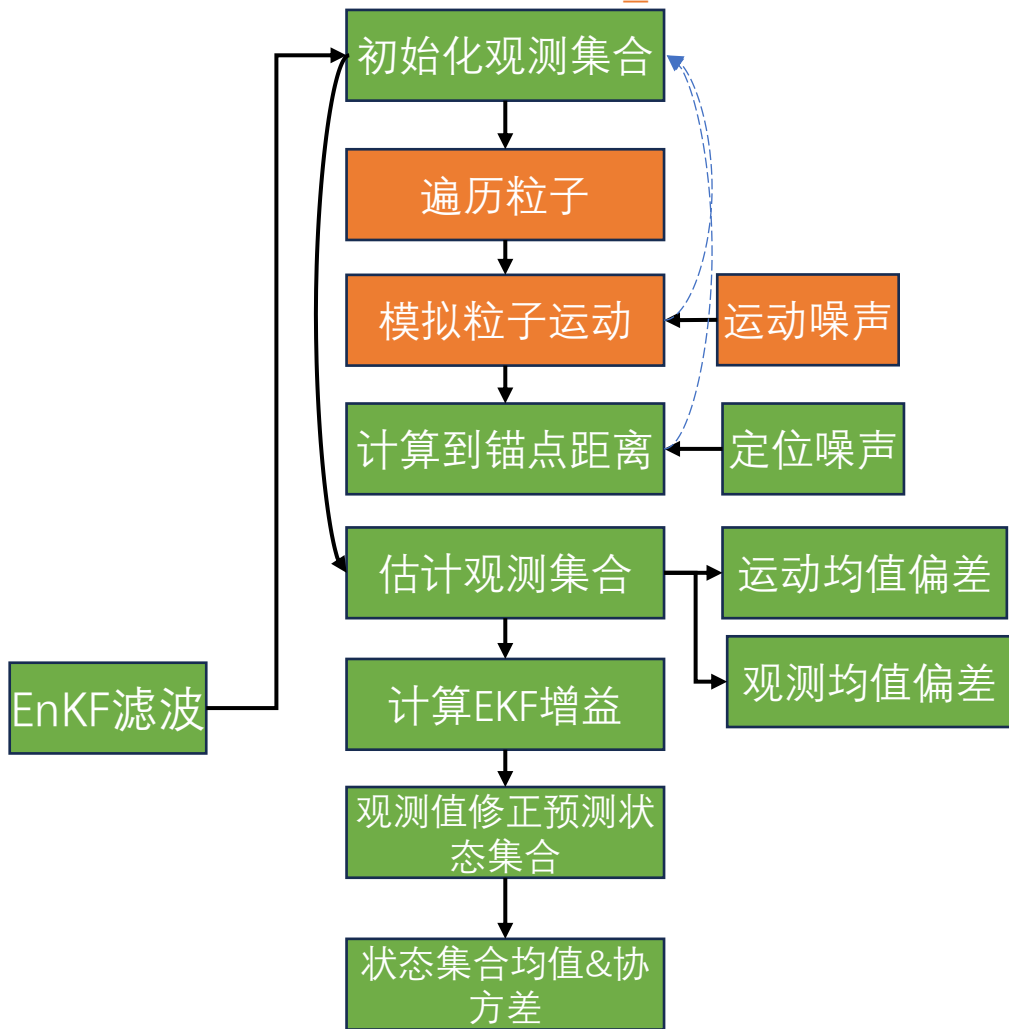
```
    xd = motion_model(xd, ud)
```

```
    return xTrue, z, xd, ud
```


Part 3 | 集合Kalman滤波定位



EnKF \approx EKF + Particle_filter



```
def enkf_localization(px, z, u):
    """
    Localization with Ensemble Kalman filter
    """
    pz = np.zeros((z.shape[0] * 2, NP)) # Particle store of z
    for ip in range(NP):
        x = np.array([px[:, ip]]).T

        # Predict with random input sampling
        ud1 = u[0, 0] + np.random.randn() * R_sim[0, 0] ** 0.5
        ud2 = u[1, 0] + np.random.randn() * R_sim[1, 1] ** 0.5
        ud = np.array([[ud1, ud2]]).T
        x = motion_model(x, ud)
        px[:, ip] = x[:, 0]
        z_pos = observe_landmark_position(x, z)
        pz[:, ip] = z_pos[:, 0]

    x_ave = np.mean(px, axis=1)
    x_dif = px - np.tile(x_ave, (NP, 1)).T

    z_ave = np.mean(pz, axis=1)
    z_dif = pz - np.tile(z_ave, (NP, 1)).T

    U = 1 / (NP - 1) * x_dif @ z_dif.T
    V = 1 / (NP - 1) * z_dif @ z_dif.T

    K = U @ np.linalg.inv(V) # Kalman Gain

    z_lm_pos = z[:, [2, 3]].reshape(-1, )

    px_hat = px + K @ (np.tile(z_lm_pos, (NP, 1)).T - pz)

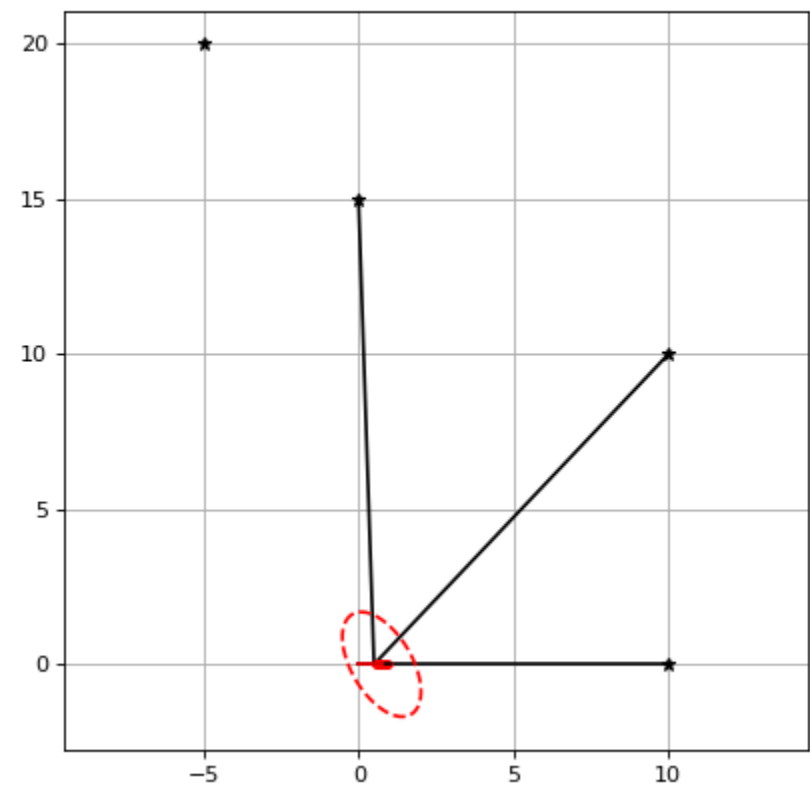
    xEst = np.average(px_hat, axis=1).reshape(4, 1)
    PEst = calc_covariance(xEst, px_hat)

    return xEst, PEst, px_hat
```

Part 3 | 集合Kalman滤波定位



$$\text{EnKF} \approx \text{EKF} + \text{Particle_filter}$$



	EKF	PF	EnKF
非线性处理	局部线性化（雅可比矩阵）	直接处理（粒子非线性映射）	直接处理（集合非线性映射）
状态表示	单一向量 + 协方差矩阵（高斯假设）	带权重粒子集（任意分布）	无权重集合样本（近似高斯）
噪声适应性	仅高斯噪声	任意噪声	高斯 / 弱非高斯噪声
缺点	线性化误差（强非线性失效）	粒子退化、计算量大	强非高斯噪声下精度下降
计算复杂度	低， $O(n^2)$ n =状态维度	高（随粒子数增加）， $O(N \cdot n)$ N =粒子规模	中等（随集合大小增加）， $O(M \cdot n^2)$ M =集合大小, $<N$
精度	一般，线性误差累积	拟合任意分布噪声，理论上更高	介于两者之间

目录

Contents

01 课程内容安排

02 扩展Kalman滤波定位

03 集成Kalman滤波定位

04 无迹Kalman滤波定位

05 直方图滤波定位

06 粒子滤波定位

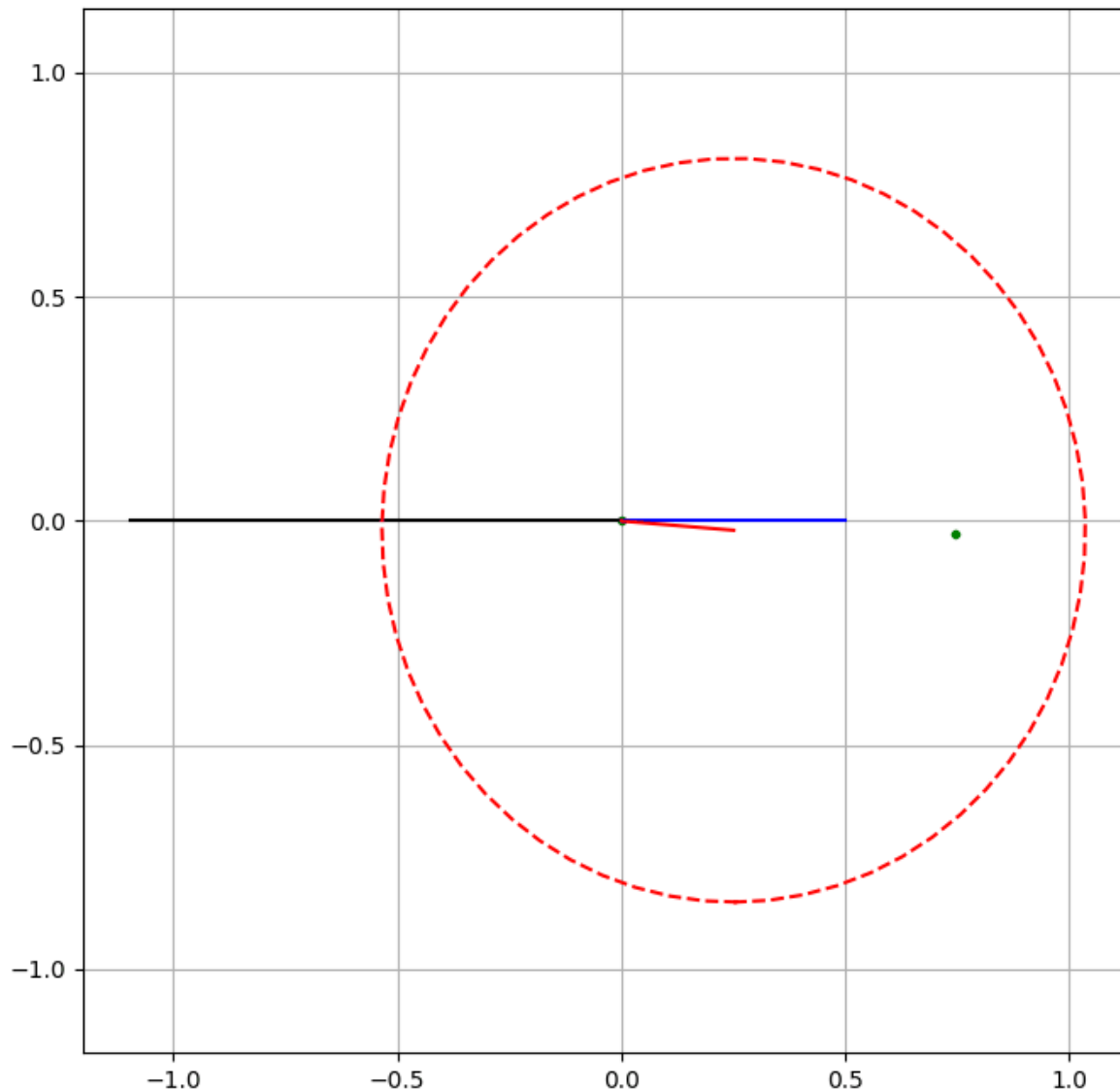
Part 4 | 无迹Kalman滤波定位

» 无迹Kalman (UKF)

与EKF通过对非线性函数进行一阶泰勒展开（求Jacobian矩阵），实现局部线性化相比。

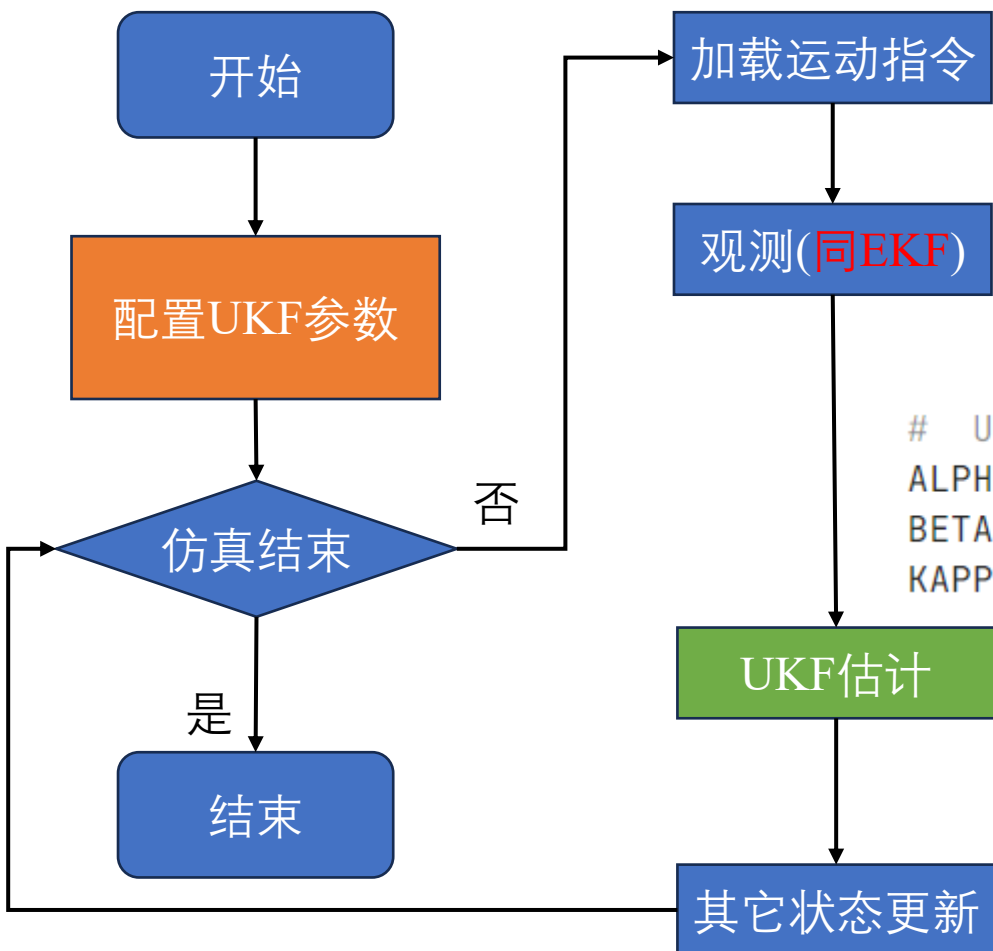
UKF通过无迹变换（Unscented Transformation, UT）进行确定性采样，也就是围绕**均值最小样本点集合**（Sigma点）估计新的均值和协方差，从而提高拟合精度。还避免了EKF求Jacobian矩阵的需求，特别是复杂函数的求导，以及存在不可微函数的情形。

无迹变换：对非线性变换后的概率分布进行统计近似。具体来说，它通过选取一组能“代表”状态分布的**sigma点**，让这些点通过非线性函数传播，再从传播后的点中重构出变换后的均值和协方差。由于 sigma 点能捕捉状态的高阶统计特性（如二阶矩），因此对非线性变换的近似精度远高于 EKF 的线性化方法。



Part 4 | 无迹Kalman滤波定位

» 无迹Kalman (UKF)



还是以相同的运动控制，匀速圆周运动，下分析UKF的整体流程。采用相似的噪声。

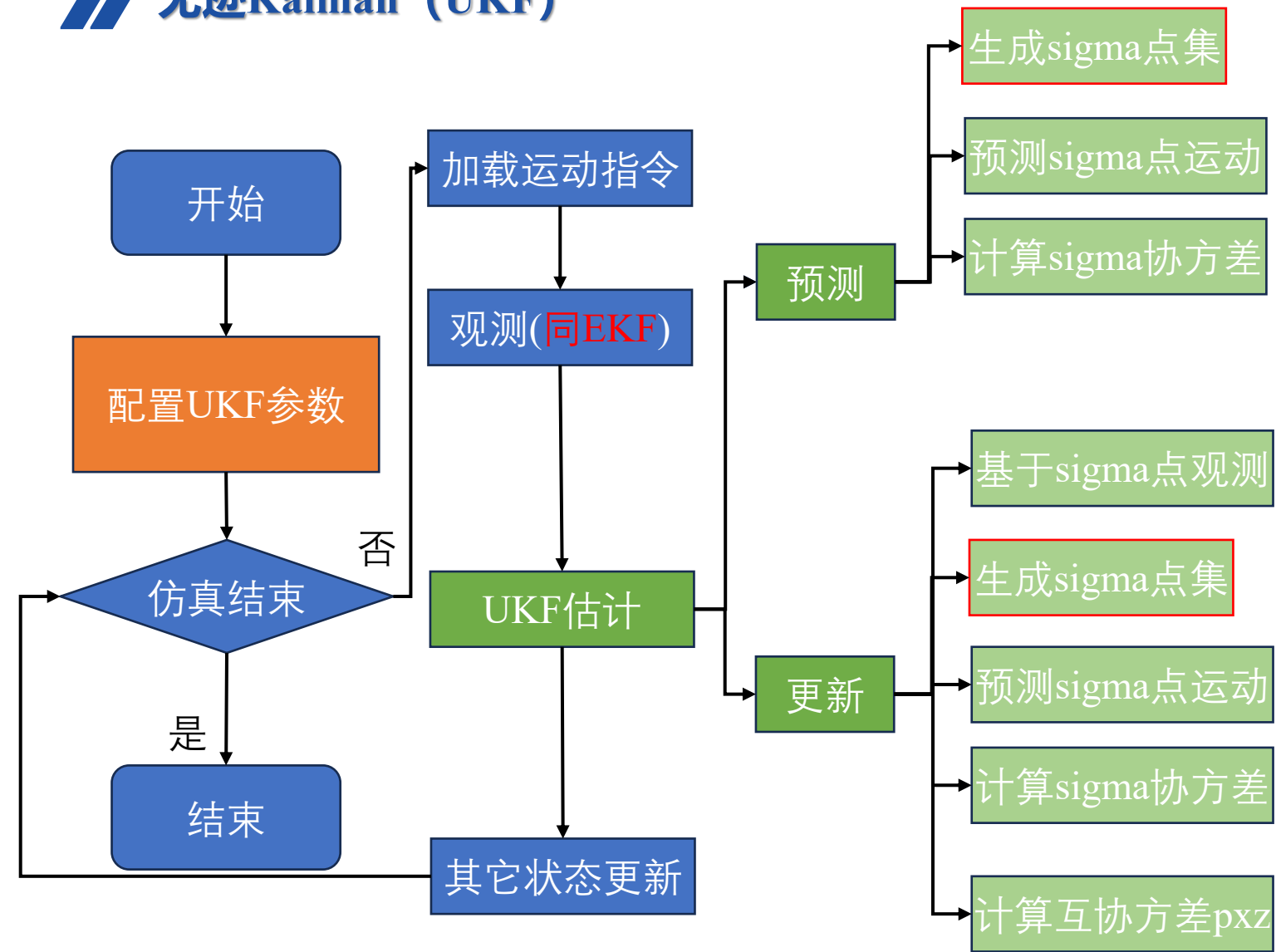
1. UKF配置 (α , β , κ)：用于筛选sigma点和更新权重
2. nx 为运动模型维度4

```
def setup_ukf(nx):  
    lamb = ALPHA ** 2 * (nx + KAPPA) - nx  
    # calculate weights  
    wm = [lamb / (lamb + nx)]  
    wc = [(lamb / (lamb + nx)) + (1 - ALPHA ** 2 + BETA)]  
    for i in range(2 * nx):  
        wm.append(1.0 / (2 * (nx + lamb)))  
        wc.append(1.0 / (2 * (nx + lamb)))  
    gamma = math.sqrt(nx + lamb)  
  
    wm = np.array([wm])  
    wc = np.array([wc])  
  
    return wm, wc, gamma
```

3. 返回值：均值权重 (w_m)、协方差权重 (w_c) 和缩放因子 (γ)，是生成 **Sigma 点**（用于近似状态分布的采样点）和后续滤波计算的基础。

Part 4 | 无迹Kalman滤波定位

» 无迹Kalman (UKF)



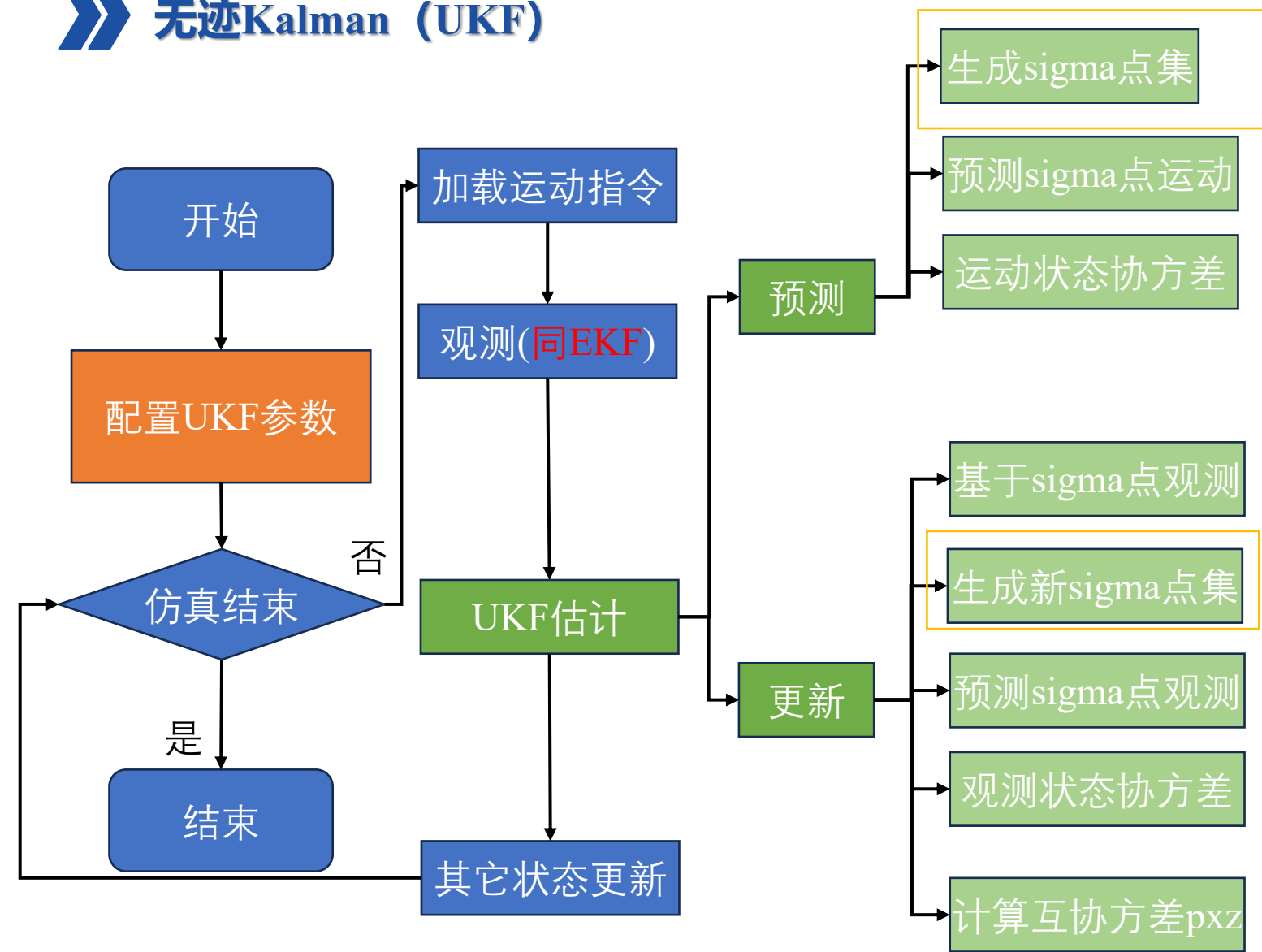
UKF实际在**预测**阶段和**更新**阶段，分别估计了一次sigma点。

- **预测**阶段sigma点计算：
 - 基于当前运动控制状态和协方差生成sigma点：每次延运动状态协方差矩阵的平方根矩阵，其列向量代表了状态空间中不确定性的主要方向，的正/负方向生成4个点，加上自身，构建sigma点集(9)。
 - 再借助运动模型更新每个sigma点的运动
 - 基于sigma点运动，更新均值权重，估计新运动状态 x_{Est}
 - 计算新协方差，预测不确定性 P_{Pred}

利用历史信息**预测**当前信息

Part 4 | 无迹Kalman滤波定位

无迹Kalman (UKF)



UKF实际在**预测阶段**和**更新阶段**，分别估计了一次sigma点。

- **更新阶段sigma点计算：**
 - 预测sigma点可能的定位结果，并计算观测残差。
 - 重新生成sigma点
 - 提取每个sigma点的观测结果，即定位，更新均值权重，估计新观测状态 z_b
 - 计算观测协方差，预测观测的不确定性
 - 计算 **运动状态&观测** 的互协方差
 - 计算卡尔曼增益

利用观测信息**修正**预测信息

Part 4 | 无迹Kalman滤波定位

» 无迹Kalman (UKF)

特性	EKF	EnKF	UKF
非线性适应性	弱，线性化误差可能累积 (尤其强非线性系统)	强（样本数量足够时可近似任意分布，适用于强非线性）	强，通过 Sigma 点更准确捕捉非线性分布
计算复杂度	低（雅可比矩阵计算量随状态维度线性增长）, $O(n^2)$, n 为状态维度	高 ($O(N \cdot n^2)$, N 为集合大小, 通常 $N \gg n$)	高（需处理 $2n+1$ 个 Sigma 点, n 为状态维度）, $O(n^3)$
实现难度	中等（需推导雅可比矩阵, 对模型形式敏感）	较低（无需推导复杂矩阵, 样本处理逻辑简单）	较高（需设计 Sigma 点生成和权重计算逻辑）
理解	仅基于GPS和递归历史信息预测	借助随机粒子预测	粒子的目的性更强, 在状态不确定性方向撒点

目录

Contents

01 课程内容安排

02 扩展Kalman滤波定位

03 集成Kalman滤波定位

04 无迹Kalman滤波定位

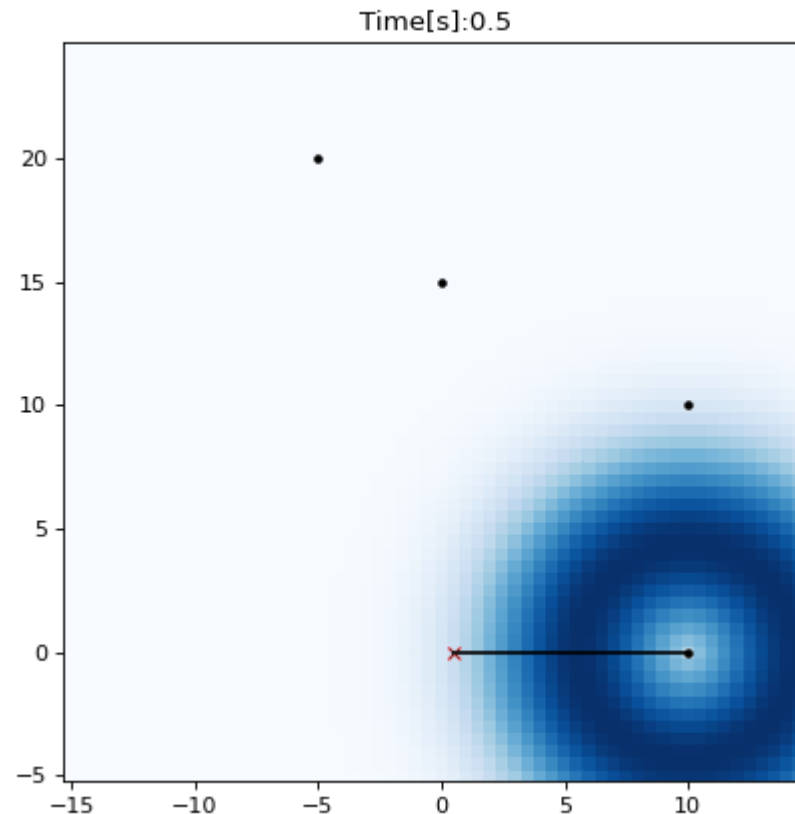
05 直方图滤波定位

06 粒子滤波定位

Part 5 | 直方图滤波定位

直方图滤波定位 (histogram filter location)

- 直方图滤波定位，假设Agent的航向角已知（带有电子罗盘/磁力计的机器人），RF_ID坐标已知，基于Agent的速度和到锚点距离进行定位，估计坐标 (x,y)。
- Agent的初始坐标可以未知，但至少需要能够感知到至少任意一个已知锚点（标签）。
- 定位过程的计算依赖 栅格地图 (Grid Map)，但不考虑障碍物，分辨率0.5m。栅格地图越精细，定位估计的最小理论精度越高，但计算量增加。
- 采用相同的运动指令，Agent进行匀速圆周运动[1, 0.1°]。
- 基础运动仍采用，航迹推算。
- 定位依赖场景中的RF_ID标签（位置同前）进行定位，感知半径10m。
- 运动过程存在运动噪声；定位信息也存在观测噪声。

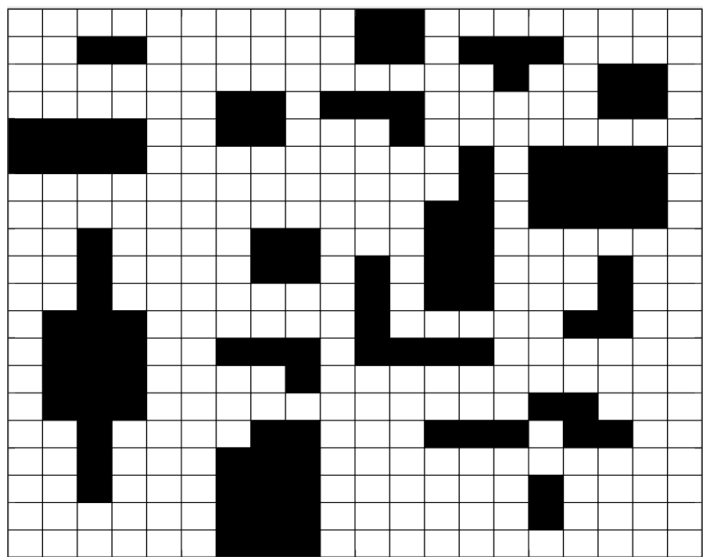
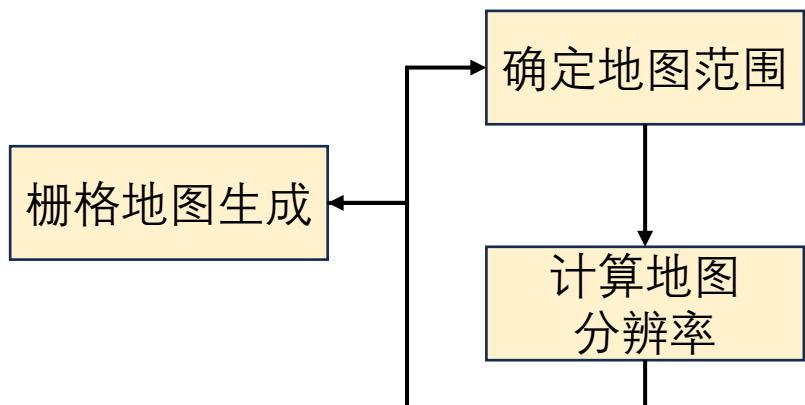


- 黑色点：RF_ID位置。
- 黑色线：感知范围内。
- 红色X：真值点位置。
- 蓝色热力图：HF估计定位分布。

Part 5 | 直方图滤波定位



栅格地图



```
# grid map param
XY_RESOLUTION = 0.5 # xy grid resolution
MIN_X = -15.0
MIN_Y = -5.0
MAX_X = 15.0
MAX_Y = 25.0
```

覆盖潜在运动范围即可
(匀速圆周运动为直径20m的圆)
范围-30 ~ 30m

```
def init_grid_map(xy_resolution, min_x, min_y, max_x, max_y):
    grid_map = GridMap()
```

```
    grid_map.xy_resolution = xy_resolution
    grid_map.min_x = min_x
    grid_map.min_y = min_y
    grid_map.max_x = max_x
    grid_map.max_y = max_y
```

```
    grid_map.x_w = int(round((grid_map.max_x - grid_map.min_x)
                             / grid_map.xy_resolution))
    grid_map.y_w = int(round((grid_map.max_y - grid_map.min_y)
                             / grid_map.xy_resolution))
    计算分辨率
```

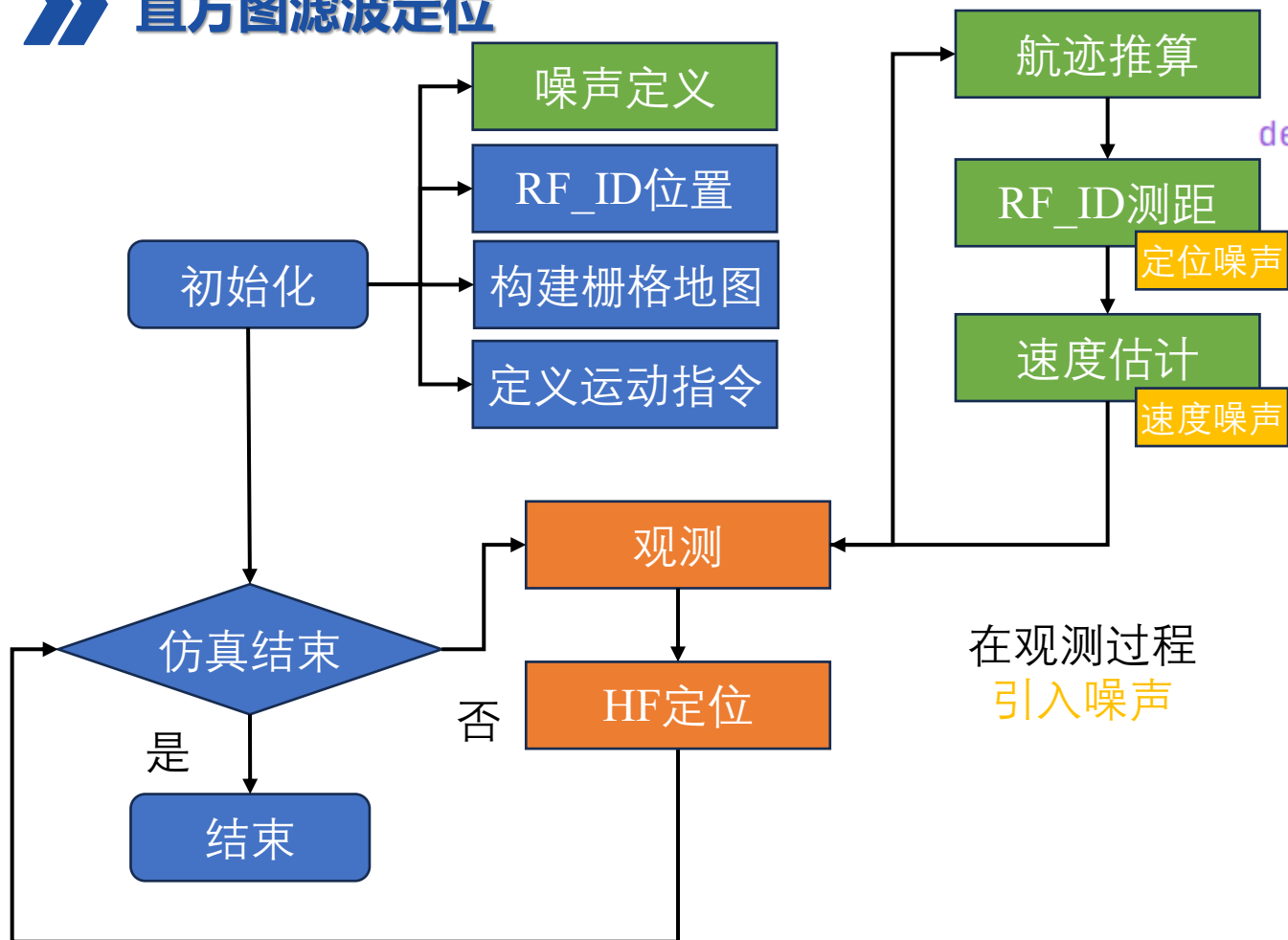
初始化概率
全局归一化

```
    grid_map.data = [[1.0 for _ in range(grid_map.y_w)]
                     for _ in range(grid_map.x_w)]
    grid_map = normalize_probability(grid_map)

    return grid_map
```

Part 5 | 直方图滤波定位

直方图滤波定位

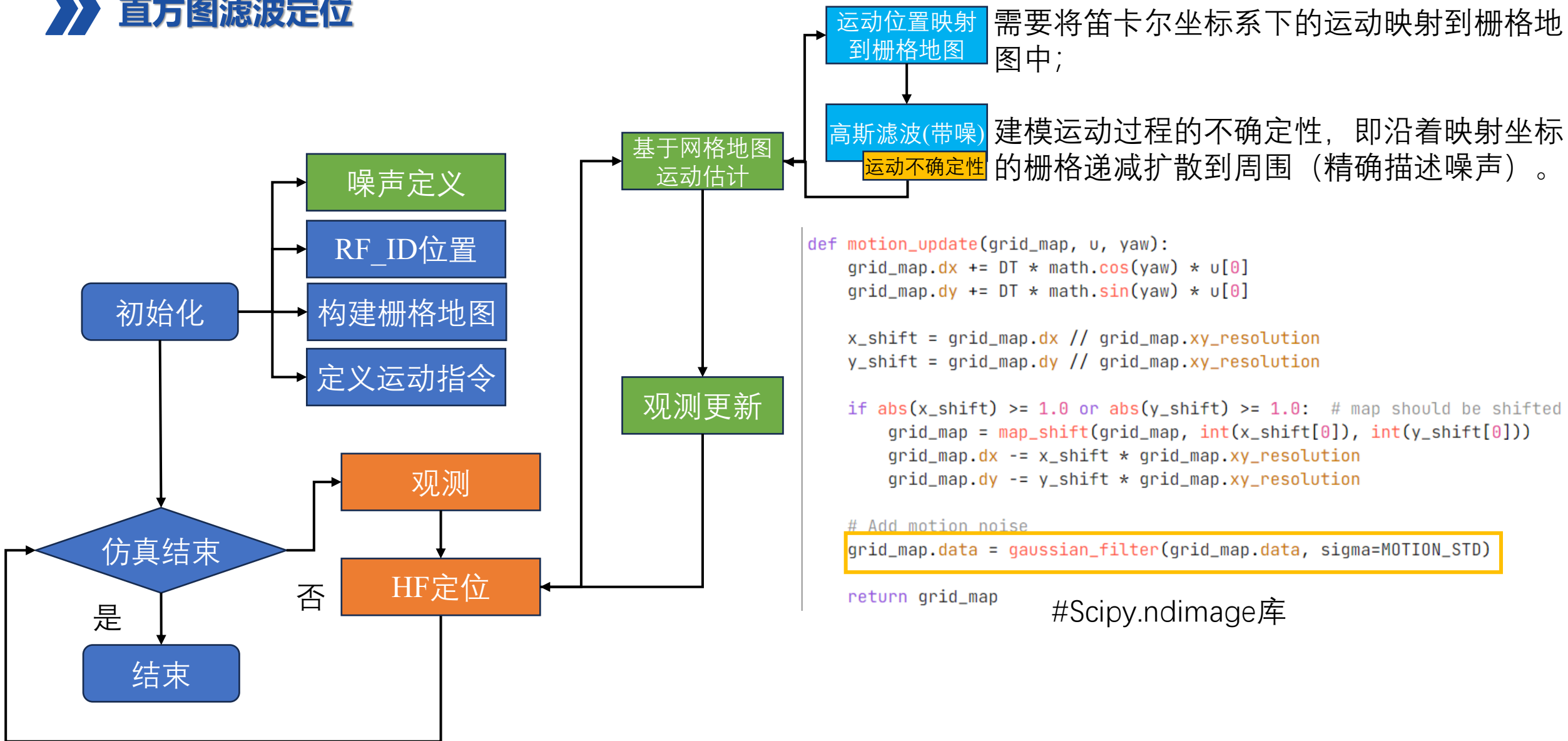


- 噪声：测距噪声，速度噪声。运动方向假设已知。
- 观测过程，仅对速度添加噪声。
- 测距时，仅感知半径内的RF_ID参与计算，并添加定位噪声，构建观测向量

```
def observation(xTrue, u, RFID):  
    xTrue = motion_model(xTrue, u)  
  
    z = np.zeros((0, 3))  
  
    for i in range(len(RFID[:, 0])):  
  
        dx = xTrue[0, 0] - RFID[i, 0]  
        dy = xTrue[1, 0] - RFID[i, 1]  
        d = math.hypot(dx, dy)  
        if d <= MAX_RANGE:  
            # add noise to range observation  
            dn = d + np.random.randn() * NOISE_RANGE  
            zi = np.array([dn, RFID[i, 0], RFID[i, 1]])  
            z = np.vstack((z, zi))  
  
        # add noise to speed  
        ud = u[:, :]  
        ud[0] += np.random.randn() * NOISE_SPEED  
  
    return xTrue, z, ud
```

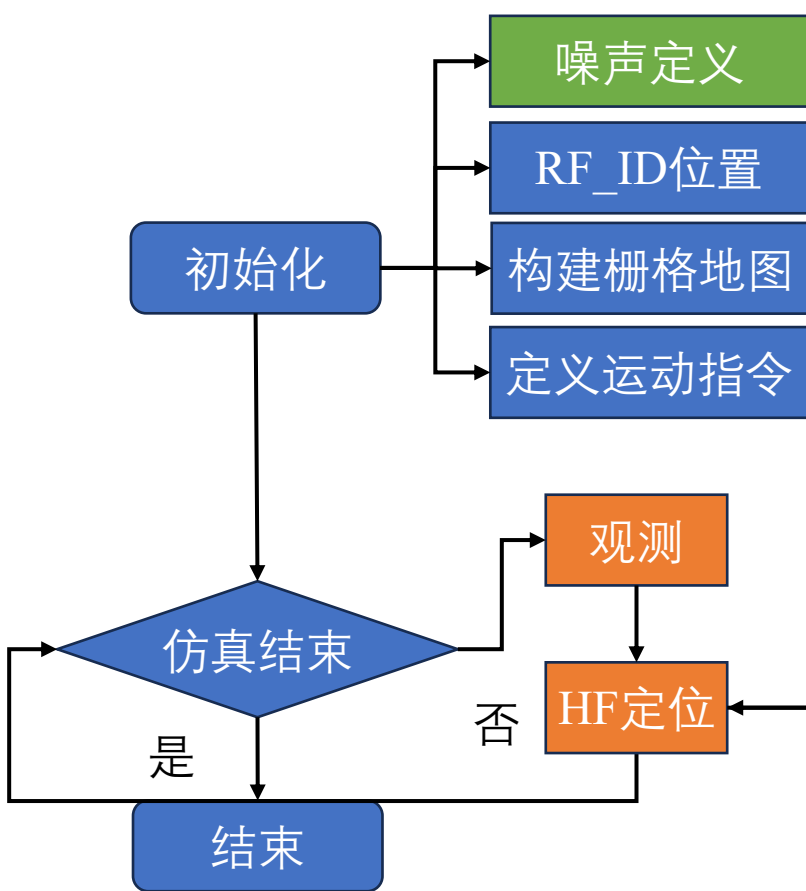
Part 5 | 直方图滤波定位

直方图滤波定位



Part 5 | 直方图滤波定位

直方图滤波定位



栅格地图换回笛卡尔坐标
栅格距离 - RF_ID观测距离

释然估计

```
def calc_gaussian_observation_pdf(grid_map, z, iz, ix, iy, std):  
    # predicted range  
    x = ix * grid_map.xy_resolution + grid_map.min_x  
    y = iy * grid_map.xy_resolution + grid_map.min_y  
    d = math.hypot(x - z[iz, 1], y - z[iz, 2])  
  
    # likelihood  
    pdf = norm.pdf(d - z[iz, 0], 0.0, std)  
  
    return pdf
```

```
def observation_update(grid_map, z, std):  
    for iz in range(z.shape[0]):  
        for ix in range(grid_map.x_w):  
            for iy in range(grid_map.y_w):  
                grid_map.data[ix][iy] *= calc_gaussian_observation_pdf(  
                    grid_map, z, iz, ix, iy, std)  
  
    grid_map = normalize_probability(grid_map)  
  
    return grid_map
```

遍历标签定位
信息

最大释然估计:
计算累积概率
分布

归一化网格地
图概率

过滤不确定性

观测更新

Part 5 | 直方图滤波定位

直方图滤波定位

	直方图滤波定位	粒子滤波定位
状态空间	连续空间（x, y, yaw, v均为连续变量）	离散网格（x, y被划分为固定分辨率的网格）
计算复杂度	与粒子数量NP相关（代码中NP=100），粒子越多精度越高，但计算量线性增加	与网格数量相关（由XY_RESOLUTION决定），分辨率越高（网格越多）计算量越大，高维度时易爆炸
运动模型处理	对每个粒子独立应用带噪声的运动模型（motion_model）	通过网格平移（map_shift）模拟运动，再用高斯滤波（gaussian_filter）添加噪声
观测更新	计算每个粒子与观测值的似然度（gauss_likelihood），更新权重	计算每个网格与观测值的似然度，直接修正网格概率
重采样机制	当有效粒子数N_eff < NTh时重采样，保留高权重粒子	无需重采样，通过归一化（normalize_probability）维持概率和为 1
状态维度	处理高维度状态（代码中 4 维：x, y, yaw, v）	仅处理低维度状态（代码中 2 维：x, y，因高维度网格数量爆炸）

开始实验



北京航空航天大学
BEIHANG UNIVERSITY